



AUTORIZAÇÃO PARA PUBLICAÇÃO PELO INPE DE TESES E DISSERTAÇÕES

Eu, Carlos Vicente Barbieri Palestino

residente em Rua Ouro Fino 215 apto 201, 30310-110 em Belo Horizonte-Minas Gerais

(endereço completo), portador do documento de identidade MG-15380210-SSP (RG / Órgão Emissor), na qualidade de titular dos direitos morais e patrimoniais de autor que recaem sobre minha obra intitulada Formatação das Fitas CCT e exemplo de maontagem de arquivos em disco para sua utilização

(título da Tese ou Dissertação), com fundamentos nas disposições da Lei n. 9.610 de 19 de fevereiro de 1998, autorizo o INPE a colocá-la ao alcance do público na Web, a partir de 01 / 09 / 2010 (dia/mês/ ano), acompanhado do seguinte aviso de direitos autorais:

Nenhuma parte desta publicação pode ser reproduzida, armazenada em um sistema de recuperação ou transmitida sob qualquer forma ou por qualquer meio: eletrônico, mecânico, fotográfico, reprográfico, de microfilmagem ou outros, sem a permissão escrita do INPE, com exceção de qualquer material fornecido especificamente no propósito de ser entrado e executado num sistema computacional, para o uso exclusivo do leitor da obra.

O INPE será responsável pelo armazenamento, preservação e identificação do documento original, autenticação de qualquer cópia do mesmo, colocação ao alcance do público, ou transferência para outra entidade com as mesmas responsabilidades. Caso o documento submetido deixe de ser acessível ao público, de forma definitiva, então os direitos patrimoniais do documento retornam ao autor. Por este motivo, recomenda-se que seja guardada, em poder do autor, uma cópia do original disponibilizado pelo INPE.

Cidade de BH, 3 de AGOSTO de 2010.

Assinatura

1. Classificação <i>INPE.COM3/NTE</i> <i>681.3.053:621.38SR</i>	2. Período	4. Critério de Distribuição: interna <input type="checkbox"/> externa <input checked="" type="checkbox"/> X
3. Palavras Chave (selecionadas pelo autor) <i>Formatação</i> <i>Fita CCT</i> <i>Montagem de arquivo</i> <i>Disco</i>	<i>Interpretação automática de imagens</i>	
5. Relatório nº <i>INPE-845-NTE/054</i>	6. Data <i>março de 1976</i>	7. Revisado por - <i>Jorge de Menezes</i>
8. Título e Sub-Título <i>FORMATAÇÃO DAS FITAS CCT E EXEMPLO DE MONTAGEM DE ARQUIVOS EM DISCO PARA SUA UTILIZAÇÃO</i>		9. Autorizado por - <i>Fernando de Mendonça</i> <i>Fernando de Mendonça</i> <i>Diretor</i>
10. Setor <i>CRT/SRS</i>	Código 421	11. Nº de cópias 30
12. Autoria <i>Carlos Vicente Barbieri Palestino</i>		14. Nº de páginas 60
13. Assinatura Responsável <i>CB Palestino</i>		15. Preço
16. Sumário/Notas <i>Esse trabalho visa a levar ao usuário externo, que adquire fitas CCT do Sistema ERTS, um conjunto de informações moldadas em estruturas simples, suficientes para o entendimento da formatação das mesmas e para a realização de possíveis aplicações em computadores digitais inespecíficos.</i>		
17. Observações		

ÍNDICE

CAPÍTULO I - SISTEMA ERTS	1
CAPÍTULO II - FORMATAÇÃO DAS FITAS CCT (FITAS COMPATÍVEIS COM COMPUTADOR)	7
2.1 - Imagem do ERTS como Matriz de Pontos	7
2.2 - Armazenamento das Matrizes nas Fitas CCT	10
2.2.1 - Registro de Identificação	14
2.2.1.1 - Identificação da Cena/Quadro	14
2.2.1.2 - Número de Sequência do Arquivo	15
2.2.1.3 - Tamanho do Registro	15
2.2.1.4 - Largura da Faixa	16
2.2.1.5 - "Overlap"	16
2.2.1.6 - Código de Correção dos Dados	16
2.2.1.7 - Número do Primeiro Elemento da Faixa	17
2.2.2 - Registro de Anotação	17
2.2.3 - Registro de Dados e Registro de Calibração	17
CAPÍTULO III - UM EXEMPLO DE MONTAGEM EM DISCO DE UM ARQUIVO ORIGINADO DE FITA CCT	25
3.1 - O Arquivo em Fita	25
3.2 - O Arquivo em Disco	26
3.3 - Descrição do Programa	30
3.3.1 - Programa de Montagem	30
3.3.2 - Programa de Busca	32
3.4 - Diagrama de Blocos dos Programas	36

3.5 - Um Exemplo de Tratamento de Imagens ERTS para Geração de "Print-out"	44
BIBLIOGRAFIA	48
APÊNDICE A - LISTAGEM DO PROGRAMA	A.1
APÊNDICE B - LISTAGEM DOS PONTOS DE 3 LINHAS DA IMAGEM ERTS NAS QUATRO BANDAS ESPECTRAIS	B.1

CAPÍTULO I

SISTEMA ERTS

O programa ERTS (Earth Resources Technology Satellite) foi planejado e desenvolvido com o fim de se construir uma ferramenta que fosse prática e eficiente no manejo dos recursos naturais. Com o lançamento do primeiro satélite da série, o ERTS-1, em julho de 1972, e com os trabalhos que vêm sendo realizados utilizando-se seus dados, ficou bastante evidenciada a aplicação de imagens e fitas geradas pelo sistema no monitoramento de recursos terrestres.

Daremos a seguir, em linhas gerais, as características do sistema ERTS, agora também conhecido como LANDSAT.

A órbita do Satélite ERTS-1 é quase circular (0,0001 de excentricidade), síncrona com o Sol e quase polar (mantém uma inclinação constante de 99,008 graus com o plano equatorial). Com esta órbita, os sensores do satélite tomam a imagem de uma mesma área sempre com aproximadamente o mesmo ângulo de iluminação solar. A faixa da superfície da Terra coberta pelos sensores é contínua, possuindo 100 milhas náuticas (aprox. 185 km) de largura e de cada área a imagem é tomada repetitivamente cada 18 dias, à mesma hora local (para isto é que a órbita foi feita síncrona com o Sol.).

Os equipamentos controladores de atitude do satélite detetam erros de posição de modo que o satélite é posicionado corretamente com erros inferiores a 0,7 graus com relação aos 3 eixos de posição. Os parâmetros orbitais do satélite são ajustados de modo que faixas adjacentes tenham uma superposição de pelo menos 10% em cada lado, na ausência de erro de atitude.

A órbita do ERTS tem o semi-eixo maior igual a 7.300 km e um período de 103 minutos aproximadamente. As longitudes geográficas de duas passagens subsequentes do ERTS sobre o Equador diferem de 25,8167 graus para o Oeste. Coberturas de faixas adjacentes ocorrem a cada 14 revoluções ou seja em dias subsequentes e estão separadas em longitude de 1,4338 graus, ou seja, 160 km no Equador. No fim de 18 dias, ou na conclusão de 251 revoluções, o período de cobertura é completado.

O satélite ERTS-1 possui dois tipos de sensores principais; o "scanner" multiespectral (MSS-Multispectral Scanning System) e um conjunto de 3 câmeras vidicon (RBV - Return Beam Vidicon). Além desses sensores, ele possui dois gravadores de banda larga (WBTR - Wide Band Tape Recorder) para gravação de dados sobre área fora da ação de estações terrestres rastreadoras e um sistema de coleta (DCS - Data Collection System) para aquisição de dados transmitidos por plataformas de coleta de dados (DCP - Data Collection Platforms) sediadas em pontos importantes da superfície da Terra. Complementando os dois sistemas sensores (imageador e vidicon), possui equipamentos para transmitir às estações receptoras na

terra os dados coletados pelos sensores e informações relativas ao funcionamento deles e do satélite em si. O satélite transmite também sinais de sincronização e calibração juntamente com as informações captadas pelos sensores.

Os dados provenientes do MSS e RBV, os sinais do DCS, e as informações sobre a operação do sistema são transmitidos para a terra e recebidos pelas Estações de Recepção e Gravação e após gravados são processados pelas Estações de Processamento onde são convertidos em imagens fotográficas e fitas digitais compatíveis com o computador, sendo estas últimas o objeto final do nosso trabalho.

A Estação de Processamento de Dados do ERTS fornece, além de fitas digitais compatíveis com o computador, dois tipos de imagens: a "bulk" e a "precision". A primeira contém certas incorreções geométricas porém, melhor precisão radiométrica comparada à segunda.

O "scanner" multiespectral MSS do ERTS-1 toma a imagem da superfície da terra simultaneamente em 4 bandas espectrais. Essas 4 bandas foram rigorosamente escolhidas com a ajuda de várias agências usuárias do programa ERTS; abrangem a faixa espectral de $0,5 \mu\text{m}$ a $1,1 \mu\text{m}$ (dividida em 4 canais), região da energia solar refletida.

Esse "scanner" possui um espelho que oscila continuadamente na frequência de 13,62 Hz num ângulo de $2,89^\circ$ que faz uma varredura

transversal ao deslocamento do satélite numa largura de 185 km. Através de um sistema ótico, a energia recebida pelo espelho é focalizada em 24 detectores (6 detectores para cada banda espectral) produzindo assim, sinais de vídeo que são amostrados, digitalizados e formatados. O intervalo de amostragem é de 9,95 μ seg o que subentende um campo de visada de 56m no terreno (varredura lateral). O fato desse "scanner" possuir 6 detectores para cada banda, aumenta consideravelmente a sua resolução espacial pois cada linha de varredura do espelho é dividida em 6 linhas transversais. Essa resolução é definida em torno de 80 a 100m. Com o deslocamento do satélite em sua órbita, são obtidas as linhas subsequentes (varredura longitudinal). A velocidade linear orbital do satélite é de 6,47 km/seg desprezando-se os efeitos de perturbação e os efeitos da rotação da terra. Assim, o satélite durante o tempo de uma varredura transversal (ida e volta) se move 474m. A largura abrangida pelos seis detectores ou seja o ângulo de visada do espelho subentende também 474m. Assim, a completa cobertura dos 185 km de largura é obtida.

O funcionamento desse sistema de varredura pode ser observado na figura I.1.

Após a observação de uma série de parâmetros foram selecionadas para o MSS as seguintes bandas espectrais:

- canal 4 - 0,5 a 0,6 μ m (verde-laranja)
- canal 5 - 0,6 a 0,7 μ m (laranja-vermelho)

- canal 6 - 0,7 a 0,8 μm (vermelho-infravermelho próximo)
- canal 7 - 0,8 a 1,1 μm (infravermelho próximo)

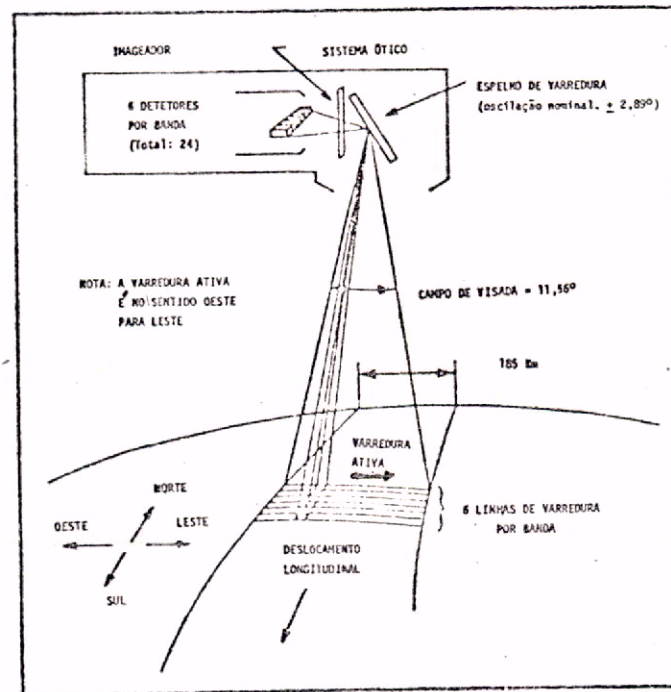


Fig. I.1 - Esquema de varredura do MSS do ERTS-1

Fonte: Data Users Handbook
NASA Earth Resources Technology Satellite
Goddard Space Flight Center

CAPÍTULO II

FORMATAÇÃO DAS FITAS CCT (FITAS COMPATÍVEIS COM COMPUTADOR)

2.1 - IMAGEM DO ERTS COMO MATRIZ DE PONTOS

Uma imagem do ERTS, como qualquer imagem fotográfica, pode ser considerada como uma matriz de pontos onde as intersecções entre linhas e colunas caracterizam o elemento mínimo de resolução (grânulos no caso de fotografia comum) e pixels (no caso de imagens do ERTS).

Cada ponto da matriz da imagem ERTS corresponde ao elemento mínimo de resolução, ou seja, um retângulo de aproximadamente 79m x 79m (dimensão no solo).

Na imagem fotográfica que manuseamos, esses pontos não são discerníveis a olho nu, mas se o fossem, poderíamos perceber que cada "ponto" é na realidade um retângulo com uma certa intensidade de cinza. Teríamos então pontos com tonalidade variando desde o cinza bem claro até o cinza escuro, quase preto.

A intensidade de cinza de cada ponto da matriz imagem é proporcional à energia média proveniente do retângulo correspondente no solo, energia essa medida em watt/cm²/SR (steroradiano), ou seja, potência de energia radiante por unidade de área e por unidade de ângulo sólido. Es

sa energia, medida dessa forma é denominada Radiância. Baseado nisso podemos dizer que num ponto de maior radiância aparecerá mais claro que um ponto de menor radiância originando então a escala de cinza que compõe as imagens fotográficas do ERTS.

Com essas afirmações podemos intuir que uma imagem pode ser representada então não mais por retângulos de tonalidades cinzentas mas sim por valores numéricos obtidos proporcionalmente a radiância, dentro de uma determinada gama de variação.

Suponhamos que, ao retângulo mais escuro da nossa imagem, nos atribuimos o valor 0 (zero) e ao retângulo mais claro o valor 255. Todos os outros retângulos componentes da imagem terão um valor entre 0 e 255. Imaginemos, agora, uma imagem virtual composta, não mais de retângulos de tonalidade cinza, mas de valores numéricos entre 0 e 255.

Essa imagem virtual representativa da imagem real pode ser armazenada sob a forma combinatorial de bits (unidade de estado binário) e como os valores variam de 0 a 255, torna-se possível armazená-los em 8 bits (1 byte) o que permite $2^8 = 256$ níveis diferentes de cinza.

Como comentamos no Capítulo I, o sistema ERTS permite a obtenção de imagens em 4 bandas diferentes do espectro eletromagnético, fato que condiciona sua característica multiespectral.

Um quadro do ERTS é um conjunto de 4 imagens da mesma área, porém em comprimentos de onda diferentes. Essas imagens são conhecidas como imagens nos canais 4, 5, 6, 7 ou mais tecnicamente como imagens na banda 1, banda 2, banda 3, banda 4 respectivamente. A partir de agora usaremos ambas as denominações. Aplicando nossa teoria de matriz de pontos que constituem cada imagem, podemos concluir que para cada quadro teremos 4 matrizes representativas contendo valores digitalizados. Esquematicamente podemos considerar segundo a figura II.1;

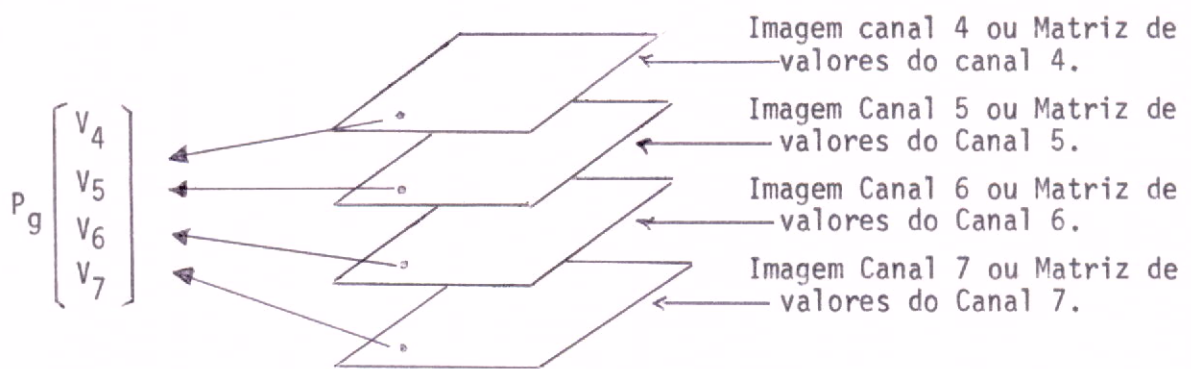


Fig. II.1 - Representação esquemática do vetor ponto de uma imagem multiespectral

um ponto genérico do quadro como um vetor de 4 dimensões, ou seja o conjunto de seus valores nos canais 4,5,6,7.

$$P_g = \begin{bmatrix} v_4 \\ v_5 \\ v_6 \\ v_7 \end{bmatrix}$$

Vimos então até agora a representação digital, sob a forma de matrizes das imagens que compõem um quadro (imagens fotográficas nos cânais 4,5,6,7).

2.2 - ARMAZENAMENTO DAS MATRIZES NAS FITAS CCT

A cada quadro do ERTS (ou seja o já explicado conjunto de 4 imagens) corresponde biunivocamente um conjunto de duas fitas, no qual estão armazenadas as matrizes digitais representativas dessas imagens. Essas fitas são chamadas CCT (Computer Compatible Tape) ou Fitas Compatíveis de Computador. Veremos mais adiante a maneira pela qual essas matrizes estão armazenadas nas fitas CCT.

Uma imagem do ERTS, em termos geométricos, abrange no terreno um quadrado de 100 milhas náuticas de lado (aprox. 184 km). Isso, corresponde a uma matriz de no mínimo 2340 linhas e 3240 colunas sendo que para essa última dimensão a média é de 3128. Podemos dizer que uma imagem é composta de 2340 linhas e de 3240 pontos por linha. Para efeito de armazenamento podemos dividir uma imagem em 8 partes (que nos chamaremos a partir de agora de oitavos ou arquivos), segundo a figura II.2. Notamos que cada oitavo possue 432 pontos e tem uma área de super-

posição com o anterior de 34 pontos, ou seja, os últimos 34 pontos do oitavo de ordem n são iguais aos primeiros 34 pontos do oitavo n+1 (para $n \leq 7$)

Os oitavos estão distribuídos em duas fitas magnéticas, de 1/2 polegada de largura, de 7 ou 9 trilhas, sendo que a codificação para fita de 9 trilhas é EBCDIC para dados alfanuméricos e binária para dados de vídeo, e para fitas de 7 trilhas é sempre binária. A figura II.3 mostra o fluxograma de formatação das fitas CCT. Normalmente os oitavos estão distribuídos nas duas fitas segundo a seguinte disposição:

- 1) oitavos nº 1,3,5,7 na Fita nº 1 e oitavos 2,4,6,8 na Fita nº 2
(é a disposição mais frequente).
- 2) oitavos nº 1,2,3,4 na Fita nº 1 e oitavos 5,6,7,8 na Fita nº 2.

Esses oitavos, dentro de cada fita, constituem vários arquivos independentes ou seja todos têm marcos delimitadores de início e fim. Cada arquivo é constituído de:

- 1) Um registro de identificação de 40 bytes.
- 2) Um registro de anotação de 340 bytes.
- 3) n registros de dados (n máximo = 2340).
- 4) Um registro de calibração de 56 bytes.

Passaremos a estudar a estruturação dos dados dentro de cada registro acima mencionado.

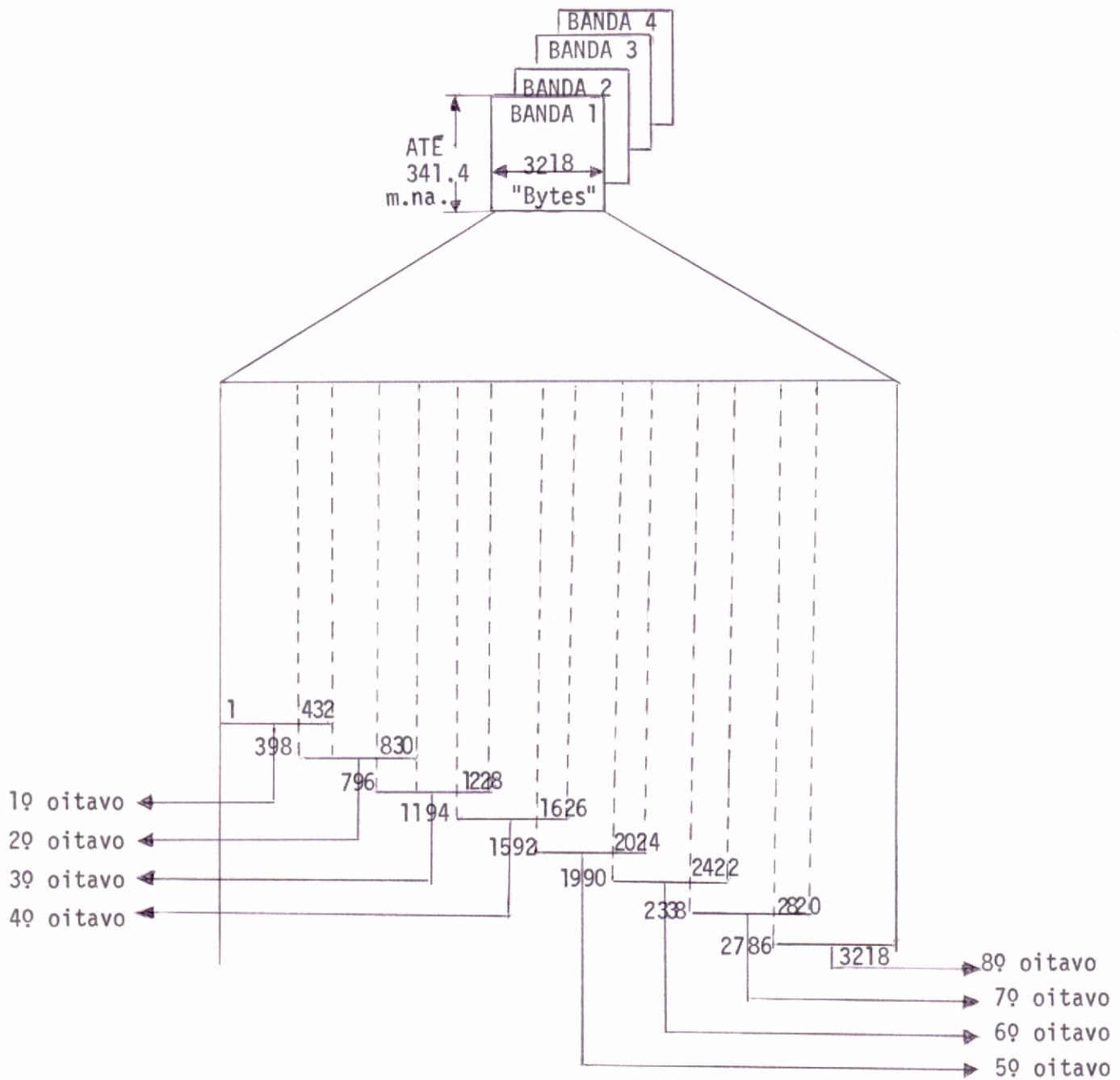


Fig. II.2 - Imagem do ERTS dividida em oitavas partes.

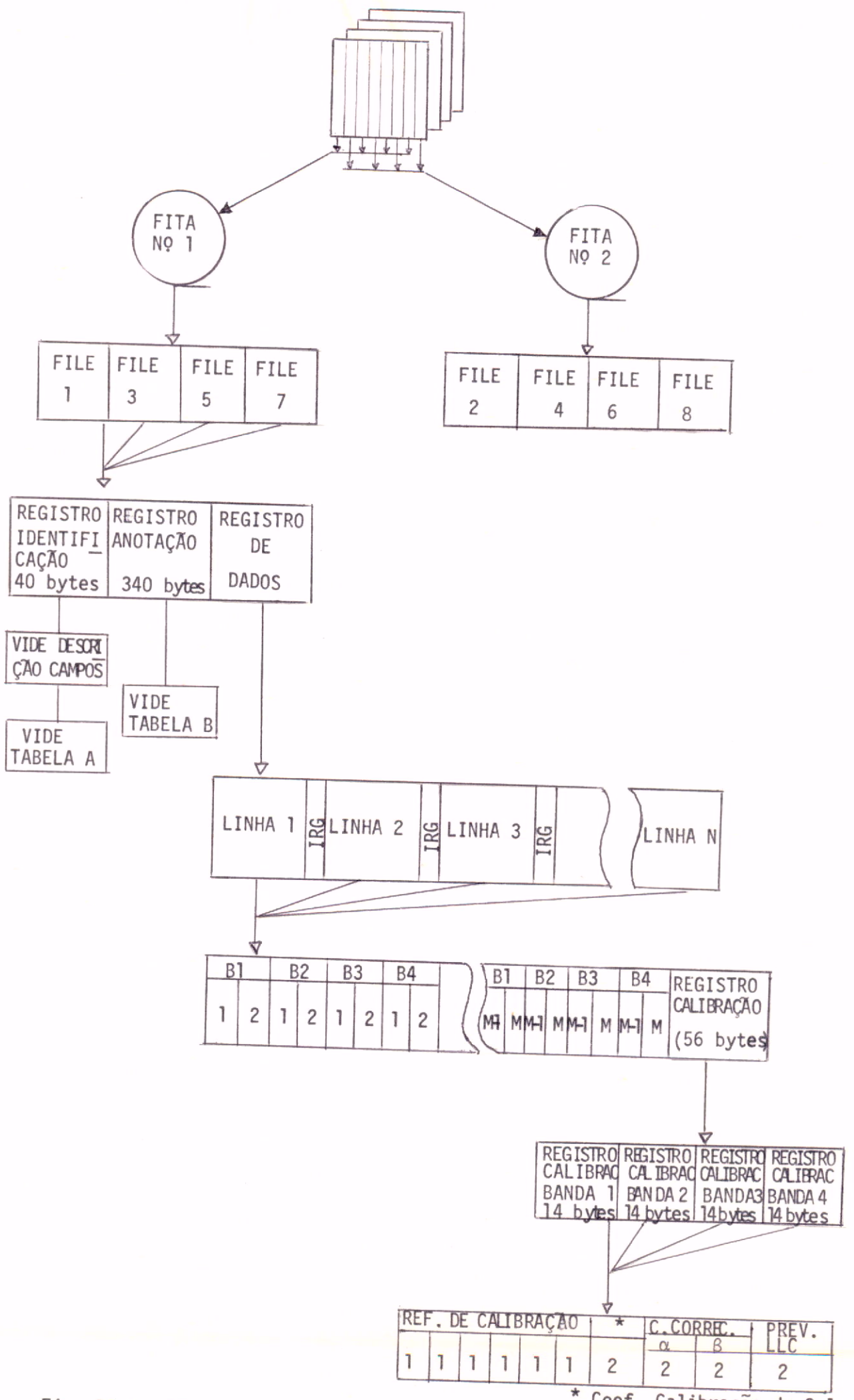


Fig. II.3 - Fluxograma geral da formatação dos dados da fita ERTS compatível com computador (CCT).

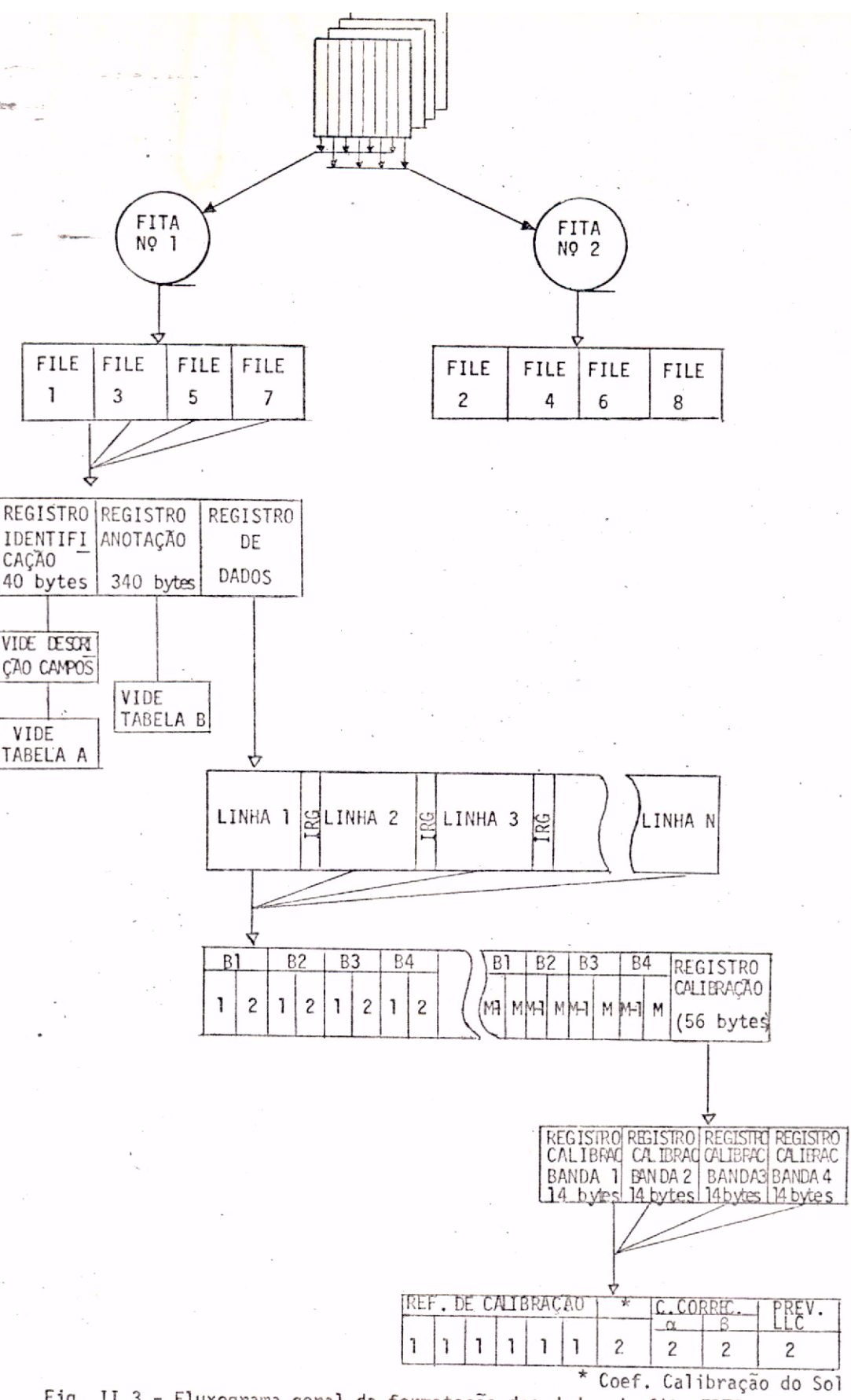


Fig. II.3 - Fluxograma geral da formatação dos dados da fita ERTS compatível com computador (CCT).

2.2.1 - Registro de Identificação

O registro de identificação é o primeiro registro do "file" ocorre somente uma vez por "file" (ou oitavo). Tem 40 bytes de comprimento, codificados em binário e ASCII. A Tabela II.1 mostra o conteúdo do registro de Identificação. A figura III.4 mostra o registro de identificação do arquivo usado no exemplo.

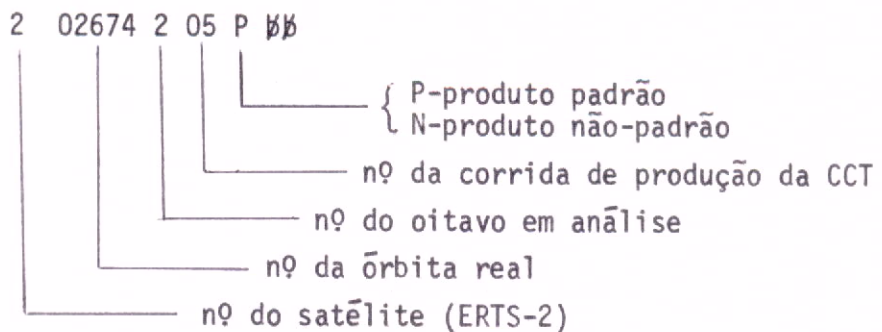
Vamos discutir, com detalhes, cada campo do registro de Identificação.

2.2.1.1 - Identificação da Cena/Quadro

Cuidados devem ser tomados no acesso a esses campos devido às características de gravação do sistema DEC (Digital Equipment Corporation) que originou esses dados. Considerando a fita que serviu de exemplo nesse trabalho, no campo de 12 bytes, codificado em ASCII encontramos

303236323437303250352020

que devem ser considerados como 32 30 32 36 37 34 32 30 35 50 20 20, ou seja há inversão de cada conjunto de 2 bytes entre si (Essa inversão de caracteres se dá pelo fato dos bytes de uma palavra de computador DEC serem preenchidos diferentemente). Isso traduzido para o EBCDIC fica



2.2.1.2 - Número de sequência do arquivo

Nesse campo, também codificado em ASCII, deve se tomar cuidado com a inversão, conforme ocorrido acima. Para o mesmo exemplo citado anteriormente, no campo de 4 bytes, encontraremos

32 20 38 20

que devem ser considerados como

20 32 20 38

Isso traduzido para EBCDIC fica ¶ 2 ¶ 8, ou seja, 2 de 8, relacionando-se ao 2º oitavo ou 2º arquivo.

2.2.1.3 - Tamanho do Registro

Nesse campo temos em binário o tamanho do registro de dados, valor que será discutido no próximo item.

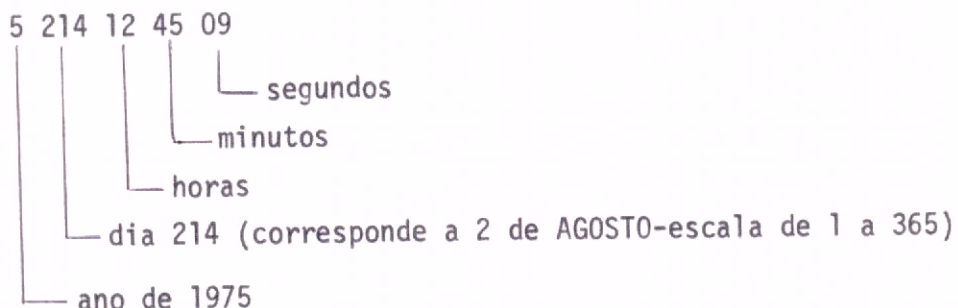
Caracterização do momento da tomada da imagem

Esse campo codificado em binário apresenta

ADDDHHMMSS

para a fita considerada como exemplo.

temos



2.2.1.4 - Largura da Faixa

Campo codificado em binário, que contém o valor 432, correspondente à largura do oitavo.

2.2.1.5 - "Overlap"

Campo codificado em binário, contendo o valor 34, correspondente à sobreposição entre 2 oitavos contíguos.

2.2.1.6 - Código de Correção dos Dados

Devido à relativa inaplicabilidade dos fatores de correção de dados não o abordaremos nesse trabalho, ficando o registro de sugestão

de leitura do trabalho "Correção Radiométrica dos Dados enviados pelo Sistema MSS do Satélite ERTS" de Luiz André Cavalcanti, publicado em Dezembro de 1975, sob o nº INPE-786-NTI/039.

2.2.1.7 - Número do Primeiro Elemento da Faixa

Esse campo codificado em binário mostra o valor do primeiro ponto da faixa (em oitavo) em estudo.

2.2.2 - Registro de Anotação

Esse registro, composto de 340 bytes, não apresenta informações importantes que possam condicionar o uso dos dados gravados nos respectivos registros; por esse motivo o mesmo não será discutido, sendo somente apresentado nas Tabelas II.2, II.3 e II.4 (Tabelas extraídas do trabalho "Correção Radiométrica dos Dados enviados pelo Sistema MSS do Satélite ERTS" de Luis André Cavalcanti). Os dados mais importantes deste registro são encontrados no label externo da fita.

2.2.3 - Registro de Dados e Registro de Calibração

Como pode-se observar na figura II.3, para cada linha, que tem 432 pontos, teremos um registro de calibração de 56 bytes, o qual é utilizado para correção e calibração de valores, fato não considerado neste trabalho.

O registro de dados, que constitue a parte de interesse por conter os valores relativos aos pontos na imagem, está estruturado segundo a figura II.3.

Iniciando o registro de dados verificamos ter para cada banda (B1, B2, B3, B4), os pontos de ordem 1 e 2 (s o os 8 primeiros bytes). Devemos lembrar que em cada linha teremos at  o ponto de ordem 432 ($M=432$). Isso equivale a dizer que teremos 432 pontos de imagem em 4 canais, o que d  (432 x 4) 1728 pontos de imagem ou 1728 bytes. Como vimos no final de cada linha ainda temos 56 bytes de calibra o que somados aos 1728 nos d  1784 bytes que   o total de bytes no registro l gico. Esse ent o   o RECORD SIZE em unidades de bytes ou caracteres.

TABELA II.1

REGISTRO DE IDENTIFICAÇÃO

CARACTER DE	INFORMAÇÃO	FORMATO	CÓDIGO
1-12	Identificação da cena/Quadro	E00000FRRT $\emptyset\emptyset$	ASCII
13-16	Número de sequência do arquivo (NM)	bNbM	ASCII
17-18	Tamanho do Registro (bytes)	nn	Binário
19-28	Caracterização do momento de tomada da imagem	ADDDHHMMSS	Binário
29-30	Largura da faixa	nn	Binário
31-32	Overlap (Nº de pontos)	nn	Binário
33-36	Branco	bbbb	
37-38	Código de correção dos dados	nn	Binário
39-40	Nº do 1º elemento da faixa	nn	Binário

Observação: \emptyset = caracter em branco.

TABELA II.2

CONTEÚDO DO REGISTRO "ANNOTATION"
"IDENTIFICATION & FIXED DATA RECORD"

- 20 -

DATAWORD Nº	PARAMETER	FORMAT RANGE			RESOLUTION
		ASCII	L,L	D,D	
1	Tape Label				1 Day
2	Date of Tape Generation - Day	ASCII	D,D		1 Day
3,4		Month	ASCII	M,M,M,M	1 Month
5	Year	ASCII	Y,Y		1 Year
6	S/C Start Time of Data - Days	INTEGER	0-365 days		1 Day
7	Hrs.	INTEGER	0-23 hrs.		1 Hr.
8	Min.	INTEGER	0-59 min.		1 Min.
9	Sec.	INTEGER	0-59 sec.		1 Sec.
10	S/C End Time of Data - Days	INTEGER	0-365 days		1 Day
11	Hrs.	INTEGER	0-23 hrs.		1 Hr.
12	Min.	INTEGER	0-59 min.		1 Min.
13	Sec.	INTEGER	0-59 sec.		1 Sec.
14	Exposure Date - Day	ASCII	D,D		1 Day
15,16	Month	ASCII	M,M,M,M		1 Month
17	Year	ASCII	Y,Y		1 Year
18	Spare				
19	Spare				
20	Type of Orbit Data	I=PFET O=BFET	INTEGER	1-OR-0	
21	Type of MSS Signal Encoding (1=Linear, 0=compressed)		INTEGER	1-OR-0	

TABELA II.2
(CONTINUACÃO)

DATAWORD Nº	PARAMETER	FORMAT	RANGE	RESOLUTION
22-25	Agency & project identifier (INPERTS)	ASCII	I,I,I,I,I,I,I,I	
26	MSS Band 1 Gain Status (1=High, 0=Low)	INTEGER	1 - OR - Ø	
27	MSS Band 2 Gain Status (1=High, 0=Low)	INTEGER	1 - OR - Ø	
28	MSS ON/OFF Status (1=On, 0=off)	INTEGER	1 - OR - Ø	
29	Aperture Correction (1=In1, 0=out)	INTEGER	1 - OR - Ø	
30	AMS ON/OFF Status (1=On, 0=off)	INTEGER	1 - OR - Ø	
31	MIDSCAN Code ON/OFF Status (1=On, 0=off)	INTEGER	1 - OR - Ø	
32	Calibration Enabled/Disabled Status (1 = Enabled, 0=Disabled)	INTEGER	1 - OR - Ø	
33	Camera Enabled/Disabled №1,2,3 (1=Enabled, 0=Disabled)	INTEGER	0 - 78	Bit position 22,21,20 Camera 1,2,3

TABELA II.3
DATA RECORD

DATAWORD N°	PARAMETER	FORMAT	RANGE	RESOLUTION
1	S/C Time-Days	Integer	0-365 days	1 Day
2	S/C Time-Hrs.	Integer	0-23 hrs.	1 Hr.
3	S/C Time-Min.	Integer	0-59 min.	1 Min.
4	S/C Time-Sec.	Integer	0-59 sec.	1 Sec.
5	S/C Roll (radians)	Integer	$\pm 0,25$ radians	2^{-17} rad. LSB
6	S/C Pitch (radians)	Integer	$\pm 0,25$ radians	2^{-17} rad. LSB
7	S/C Yaw (radians)	Integer	$\pm 0,25$ radians	2^{-17} rad. LSB
8	Altitude (meters) (ALT. 920.000)	Integer	$10 (2^{16}-1)m$	10m LSB
9	Altitude ([ABS-NOM] /NOM)	Integer	$\pm 0,25$	2^{-17} LSB
10	Velocity ([ABS-NOM] /NOM)	Integer	$\pm 0,25$	2^{-17} LSB
11	Bad Data Flags (1 bit flag for data words 5-20)			
12	S/C Heading (Degrees)	Integer	0-180 Degrees	1 degree LSB
13	RBV Exposure Duration (sec $\times 10^{-3}$)	Integer	$0-16 \times 10^{-3}$ sec.	1×10^{-3} sec.
14	Image Skew Due to Earth Rotation (MM)	Integer	+ 19.988 MM	0.0006 MM LSB
15	Spare			
16	Spare			
17	Format Center Latitude (Min.)	Integer	± 5400 Min.	1 Min. LSB
18	Format Center Longitude (Min.)	Integer	± 10.800 Min.	1 Min. LSB
19	NADIR Center Latitude (Min.)	Integer	± 5400 Min.	1 Min. LSB

TABELA II.3
(CONTINUACAO)

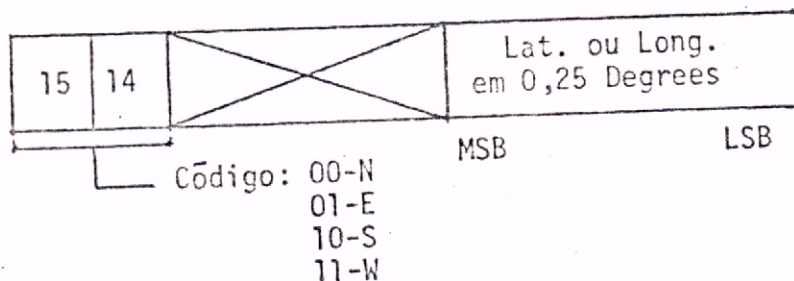
DATAWORD Nº	PARAMETER	FORMAT	RANGE	RESOLUTION
20	NADIR Center Longitude (Min.)	Integer	± 10800 Min.	1 Min. LSB
21	Sun Angle Elevation (Degrees)	Integer	0-90 Deg.	1 Deg. LSB
22	Sun Angle AZ (Degrees)	Integer	0-360 Deg.	1 Deg. LSB
23	Camera Shutter ON/OFF N°1,2,3	Integer	-----	22,21,20 Unitary bit
24	IR Assembly Temperature ($^{\circ}$ C)	Integer	$\pm 50^{\circ}$ C	0-10 $^{\circ}$ C LSB
25	Bad Data Flag TIC mark set	1 bit flag each		
26-43'	Spares	Integer		
44-64	7 TIC Mark Def. Top of Picture		Ver outra página	
65-85	7 TIC Mark Def. Left Side of Picture		" " "	
86-106	7 " " " Right Side of Picture		" " "	
107-127	7 " " " Bottom of picture		" " "	
128	Reserved for DEC software use			

TABELA II.4

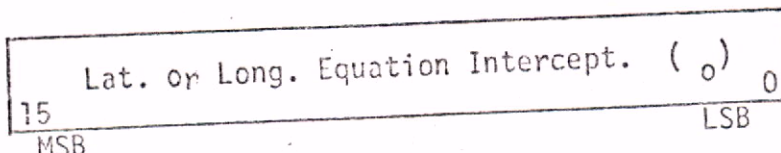
TIC MARK FORMAT DEFINITION

Três palavras definem uma marca TIC como se segue:

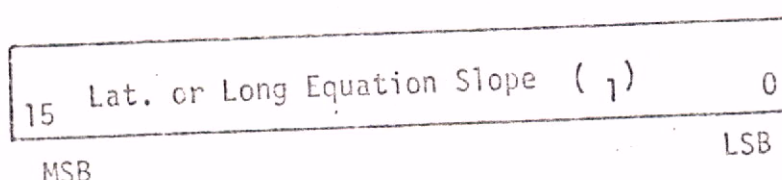
1)



2)



3)



4) Definição da TIC Mark no ICT

- a) Top border: TM-1 Closest to (0,0)-Lat/Long
- b) Left side: TM-1 Closest to (0,0) - Lat/Long
- c) Right side: TM-1 Closest to (0,0) - Lat/Long
- d) Bottom border: TM-1 Closest to (0,0) - Lat/Long

CAPÍTULO III

UM EXEMPLO DE MONTAGEM EM DISCO DE UM ARQUIVO ORIGINADO DE FITA CCT

3.1 - O ARQUIVO EM FITA

O exemplo que a seguir será mostrado tem por finalidade e evidenciar a preparação de um arquivo em disco a partir dos pontos armazenados na fita CCT; arquivo esse que poderá ser manuseado para as mais diferentes finalidades, desde a obtenção de "print-out" de níveis de cinza até a geração de imagens classificadas por algoritmos especialmente elaborados.

Como vimos anteriormente uma imagem do ERTS contém aproximadamente 7.581.600 pontos, que se multiplicados pelas 4 bandas totalizam 30.326.400. Considerando que para armazenar cada ponto precisamos de 8 bits, ou 1 byte, precisaremos de mais de 30 MB (30 milhões de bytes) para armazenar uma imagem completa. Para se ter uma idéia do volume de armazenagem que constitue esse número, basta lembrar que a unidade de disco, de cabeça fixa, do sistema Burroughs 6-700 do INPE tem capacidade de aproximadamente 20 MB.

Baseados nesse fato podemos concluir que a viabilidade de se trabalhar digitalmente sobre imagens se relaciona diretamente com o estudo de áreas pequenas, previamente selecionadas e armazenadas, a menos

que se disponha de sistemas próprios de interpretação automática de imagens dotados de robustas unidades especiais de armazenagem.

O extenso volume de dados contido num quadro do ERTS constitui-se num dos fatores que justificam a fragmentação do arquivo total em oitavos, como vimos no capítulo passado. Para o acesso então a uma determinada área, necessita-se saber a que oitavo a área pertence e quais as linhas que a limitam (Fig. III.1).

Sabendo-se esses dois parâmetros, com o oitavo desejado, seleciona-se a fita de acordo com a distribuição dos oitavos. Selecionada a fita, deve-se inicialmente posicionar o arquivo (ou oitavo) desejado. Para isso pulam-se $\vartheta 3$ arquivos (no caso da figura $\vartheta 3 = 1$). Para pular esses arquivos basta posicioná-lo no seu início e aplicar 1 "loop" de "READ bobo" até o EOF. Posicionado o arquivo desejado, deve-se pular $\vartheta 1$ linhas, ou seja $\vartheta 1$ registros até o encontro do 1º registro desejado. A partir desse então teremos ϑ registros e procedemos à transferência para o arquivo em disco.

3.2 - O ARQUIVO EM DISCO

A criação do arquivo em disco, nesse exemplo segue a idéia de que o manuseio de um determinado ponto da imagem requer a presença do vetor ponto, ou seja $\begin{bmatrix} v_1 \\ v_2 \\ v_3 \\ v_4 \end{bmatrix}$ dos quatro valores que aquele determinado pon-

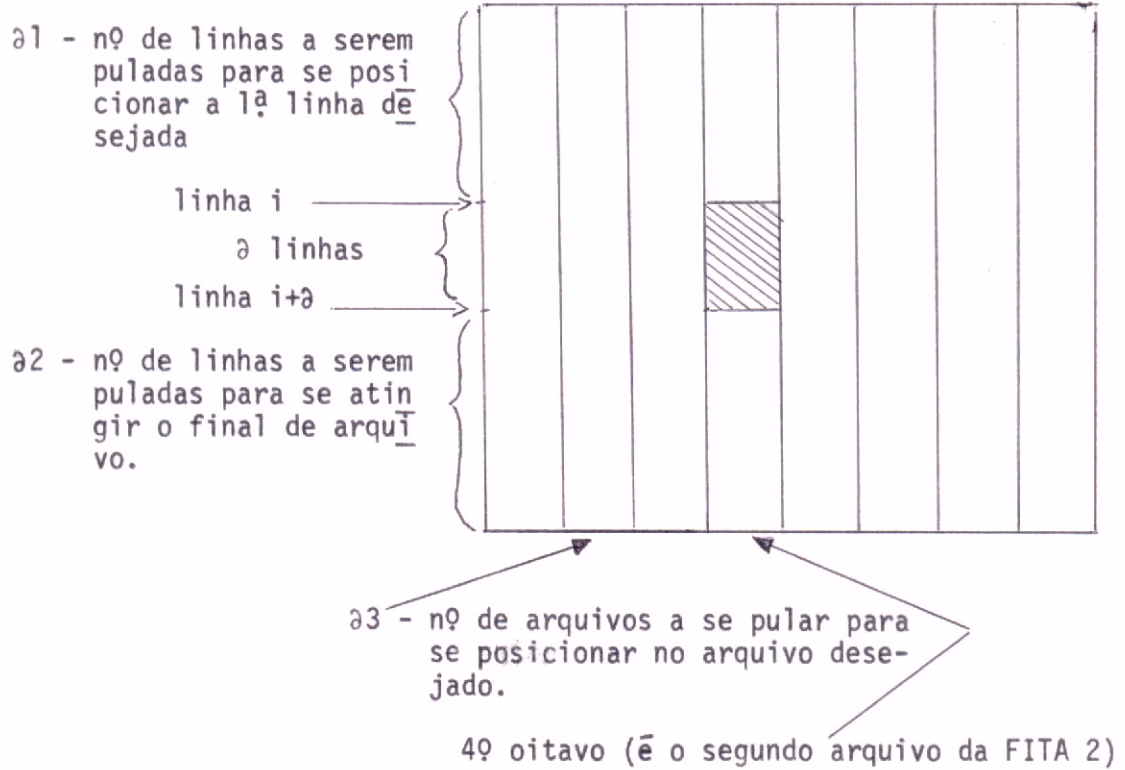


Fig. III.1 - Exemplo de acesso a uma determinada área na imagem do ERTS.

to apresenta nas quatro diferentes bandas. Para isso criou-se, a partir de cada linha lida na fita, um registro em disco que contém a estrutura da figura III.2. Teremos então 8 registros lógicos armazenados sequencialmente em disco, com cada um subdividido em 4 sub-registros, cada qual relativo a uma banda do espectro. Esses sub-registros, denominados no nosso exemplo MAT4, MAT5, MAT6, MAT7, são formados de 432 bytes ou 72 palavras do B-6700. É importante ressaltar que a busca a determinado valor (ponto) deverá ser precedida do acesso à palavra em que se encontra o ponto, porque como vimos cada palavra contém 6 valores armazenados nela. Podemos formalizar isso dizendo que a palavra MATn(I) contém os valores de ordem $(6*(I-1)+1)$ à $6 * I$ na banda n.

exemplo: a palavra MAT4(1) contém os valores de 1 a 6 na banda 4, ou seja os 6 primeiros valores do oitavo em questão no canal 4.

Sendo assim para formarmos o vetor ponto já definido anteriormente, temos que ter acesso ao mesmo ponto nos subregistros MAT4, MAT5, MAT6, MAT7 e compormos o vetor. Torna-se importante dizer que a estrutura de arquivo e de dados apresentada nesse exemplo é uma das muitas possibilidades existentes, não devendo ser considerado como padrão rígido, porém devem ser sempre considerados os aspectos de capacidade de armazenamento e tempo de acesso, de importância vital no "design" de um sistema de acesso a disco.

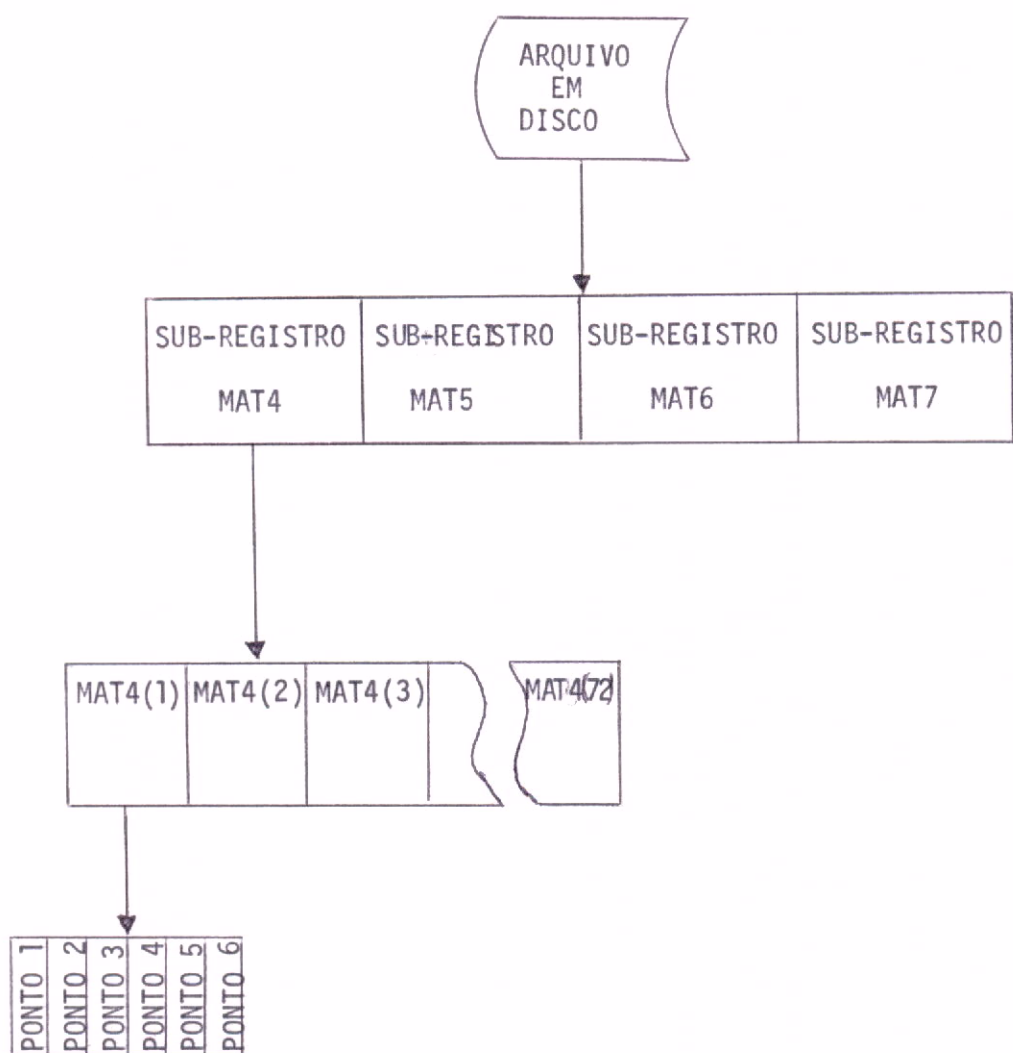


Fig. III.2 - Estrutura do registro do arquivo em disco.

3.3 - DESCRIÇÃO DO PROGRAMA

O exemplo apresentado neste trabalho constitui-se de um JOB formado de 2 programas distintos. O primeiro programa tem por finalidade a obtenção do arquivo em disco a partir do arquivo das fitas CCT. O segundo programa apenas permite acesso ao arquivo em disco e gera a listagem dos pontos desejados. O segundo programa poderia ser substituído por outros sistemas que manipulassem os dados dos pontos-imagens para quaisquer finalidades (como por exemplo aplicação de algoritmos de classificação automática gaussiana, análise de agrupamento, etc.). Ambos os programas foram escritos em ALGOL, preparados e depurados no sistema Burroughs B-6700 do INPE. A escolha dessa linguagem, incomum em muitos centros de processamento, principalmente naqueles aonde não são adotados equipamentos da Burroughs, se prende à flexibilidade e à facilidade de manuseio de caracteres que a mesma oferece, embora seja uma linguagem menos difundida. A figura III.3 evidencia o fluxograma básico que caracteriza os dois programas.

3.3.1 - Programa de Montagem

O programa de montagem, também chamado de PROGRAM1, tem como vimos no fluxograma, o objetivo de montagem de um arquivo em disco a partir da fita CCT. O programa inicia-se com as declarações de todas as variáveis, "arrays", arquivos, ponteiros e "labels", bem como com a definicão dos valores iniciais para as variáveis aritméticas. Deve-se dizer que em ALGOL todos os variáveis e "labels" têm que ser obrigatoriamente declaradas.



Fig. III.3 - Fluxograma dos programas de exemplo.

rados.

Seguindo o diagrama de blocos do programa, a variável PFAIXA é testada. Essa variável condiciona a escolha dos dois oitavos da fita em estudo que serão parcialmente armazenadas. Como temos 4 oitavos na fita, o programa considera, segundo o valor da variável PFAIXA, as seguintes possibilidades: (1º e 2º) ou (2º e 3º) ou (3º e 4º) para PFAIXA igual a 1,2,3 respectivamente. A seguir entra-se na procedure PULAFAXIA que realiza o "SKIP" dos oitavos indesejados, até o posicionamento da primeira linha de interesse. O "loop" 21 caracteriza o armazenamento adequado dos pontos das linhas em matrizes acessíveis. A procedure ARMAZENA executa essa rotina. Em seguida, no "loop" 22 pulam-se os registros restantes, até o posicionamento no início do próximo arquivo. Os procedures PULAFAXIA e ARMAZENA são detalhados no diagrama de bloco.

3.3.2 - Programa de Busca

Esse programa, também chamado programa 2, objetiva a busca de determinadas linhas da imagem armazenadas no arquivo em disco e a sua subsequente listagem. O programa, como o anterior, inicia-se com as declarações de variáveis, "labels", ponteiros e arquivos. Após a impressão do cabeçalho do relatório inicia-se o acesso a cada linha da imagem, faz-se a sua descompactação e imprimem-se os resultados (Apêndice B).

DADOS DO REGISTRO DE IDENTIFICAÇÃO DOS ARQUIVOS LIDOS

SCEENE FRAME TU= 2-02674-205-P TAPE SEQUENCE=2/8
RECORD LENGTH= 1784
PCT= 5-214-12= 45= 9
LARGURA DA FAIXA= 432 OVERLAP= 34 CALIBRACAO=**

SCEENE FRAME TU= 2-02674-405-P TAPE SEQUENCE=4/8
RECORD LENGTH= 1784
PCT= 5-214-12= 45= 9
LARGURA DA FAIXA= 432 OVERLAP= 34 CALIBRACAO=**

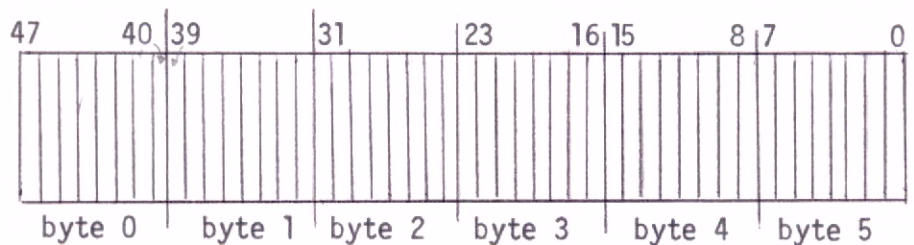
START ELEMENT= 394

START ELEMENT= 1195

Fig. III.4 - Dados do registro de identificação dos arquivos lidos.

Para melhor entendimento dos aspectos de compactação, ou seja, a colocação de seis valores por palavra e descompactação, a busca individualizada de tais valores, daremos a seguir algumas explicações concernentes à aplicação das variáveis POINTER e do verbo REPLACE usados com essa finalidade. Essas peculiaridades são próprias do sistema B-6700 ou afins, devendo-se procurar os devidos elementos de substituição em sistemas diferentes do supra citado.

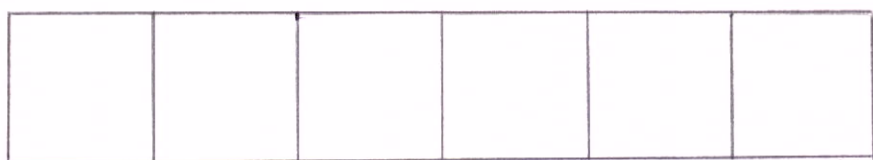
Na figura III.5 podemos observar em (a) a representação esquemática de uma palavra do B-6700, que é de tamanho fixo, e tem 48 bits úteis de armazenamento numerados de 0 a 47. Esses bits são divididos em 6 grupos de oito configurando-se os bytes. Consideremos que seja essa a palavra genérica MATN [i], ou seja, ela armazena em si 6 valores do canal N, de ordem $(6*(I-1)+1)$ à $(6*I)$. Quando se faz a operação $P:=\text{POINTER}(\text{MATN}[i])+K$, para $K=0$ (Fig. III.5b) o ponteiro P aponta para o início do primeiro byte; para $K=1$ (Fig. III.5c) P aponta para o byte nº 1 ou segundo byte. Dessa forma podemos percorrer a palavra com um ponteiro posicionando-o no byte desejado. O mesmo raciocínio vale para a outra palavra chamada receptor [i]. O verbo REPLACE quando aplicado na forma REPLACE P2 BY P1 FOR 1; copia na posição apontada por P2 a configuração do byte apontado por P1, ou seja, o valor armazenado no byte P1 está agora na palavra RECEPTOR [i] (Figura III.5d). No exemplo do programa a variável UNPACK [i] desempenha o papel de receptor dos valores.



(a)

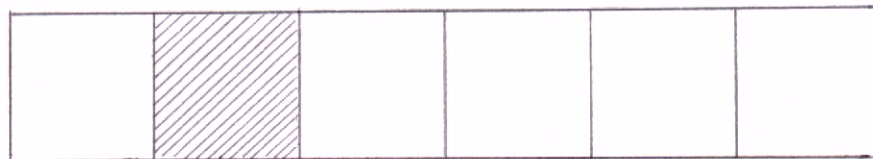
Representação da palavra genérica $\text{MATN}[i]$

$P := \text{POINTER}(\text{MATN}[i]) + 0$ ou $\text{POINTER}(\text{MATN}[i])$



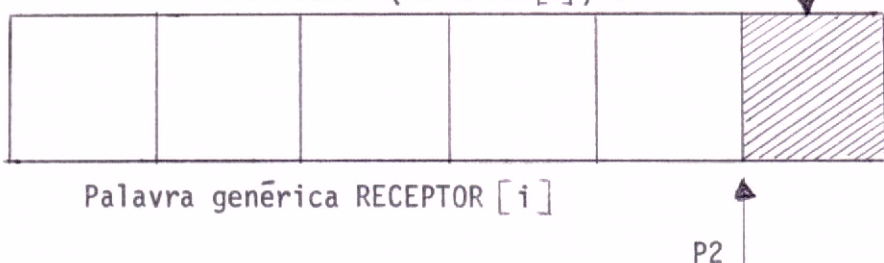
(b)

$P1 := \text{POINTER}(\text{MATN}[i]) + 1$



(c)

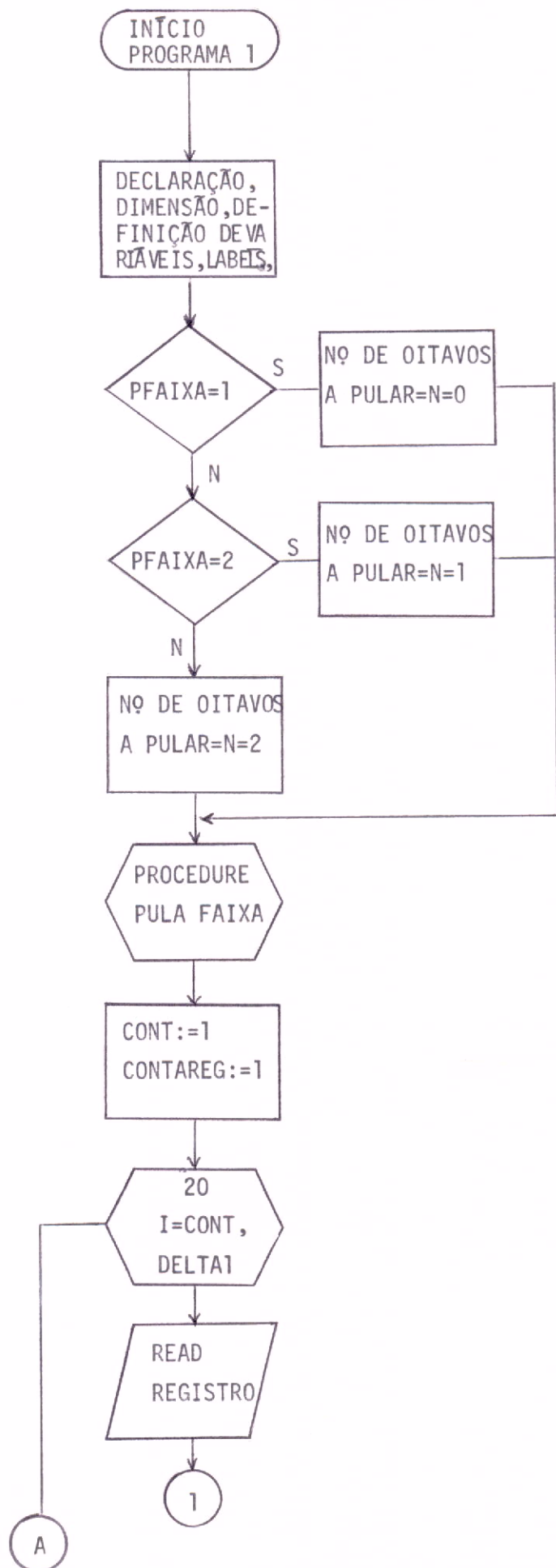
$P2 := \text{POINTER}(\text{RECEPTOR}[i]) + 5$

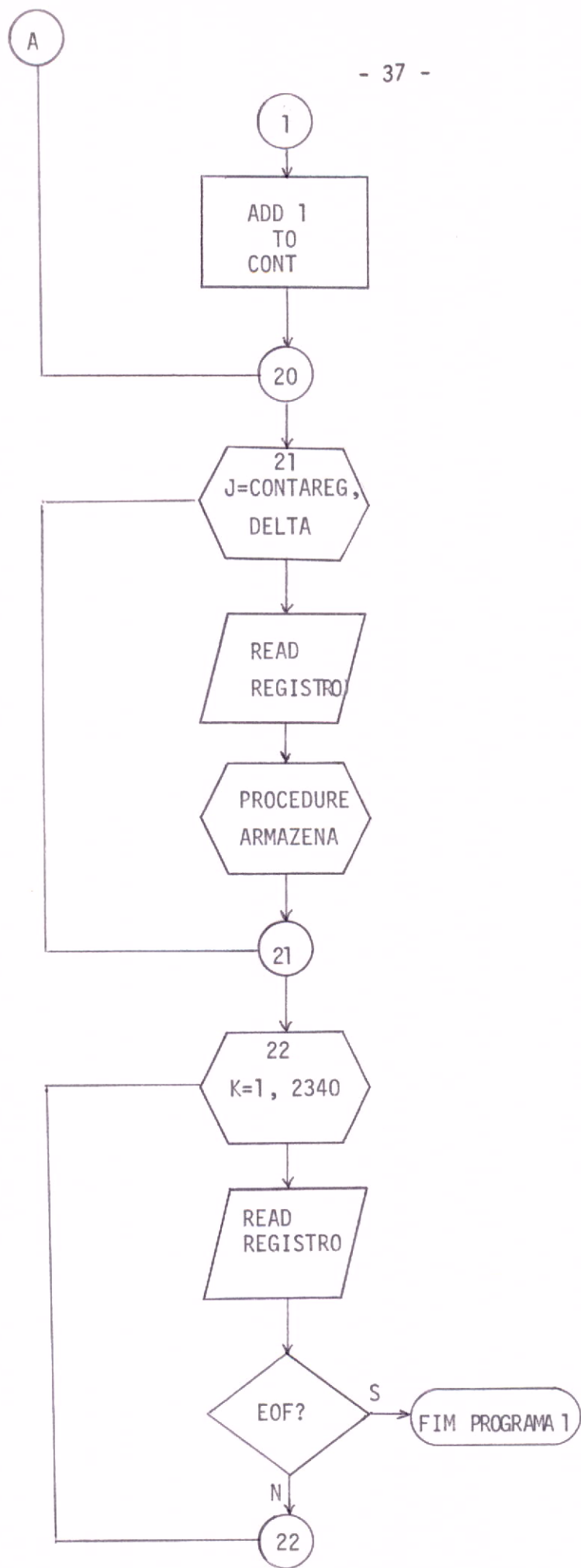


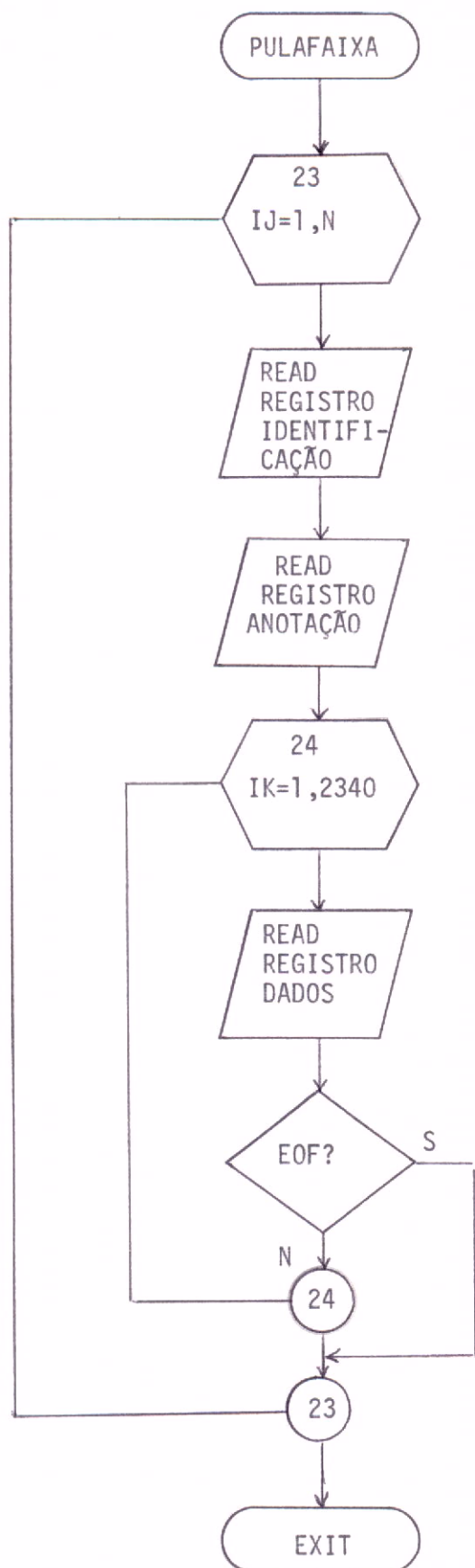
(d)

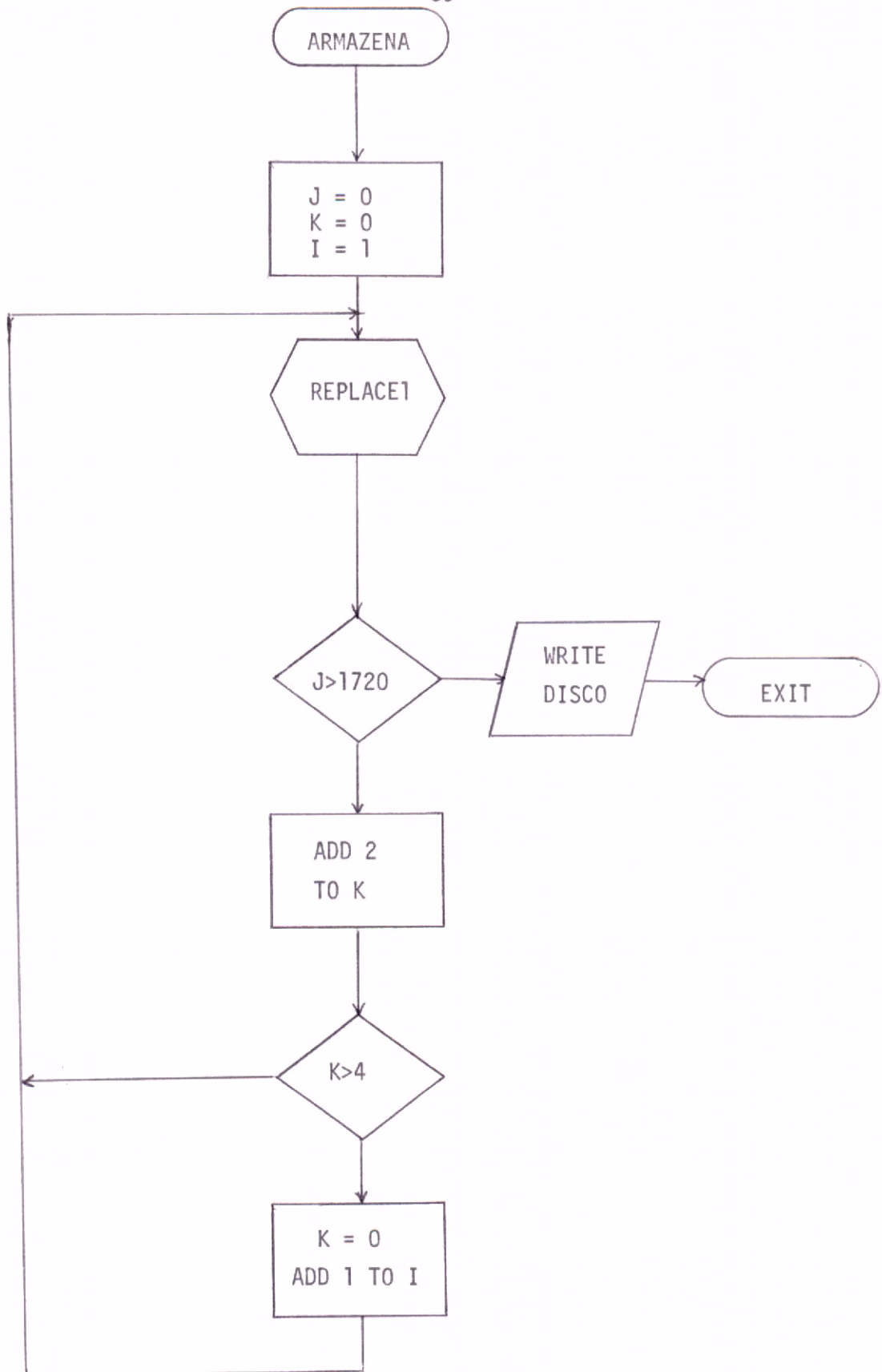
Fig. III.5 - Representação de palavras e ponteiros no B-6700.

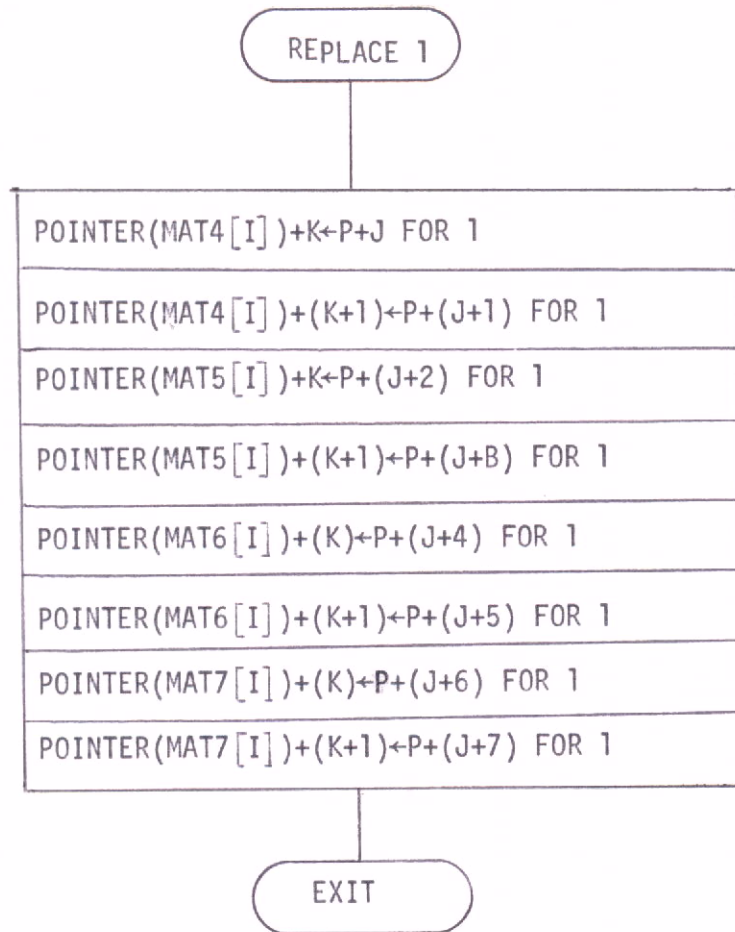
3.4 - DIAGRAMA DE BLOCOS DOS PROGRAMAS

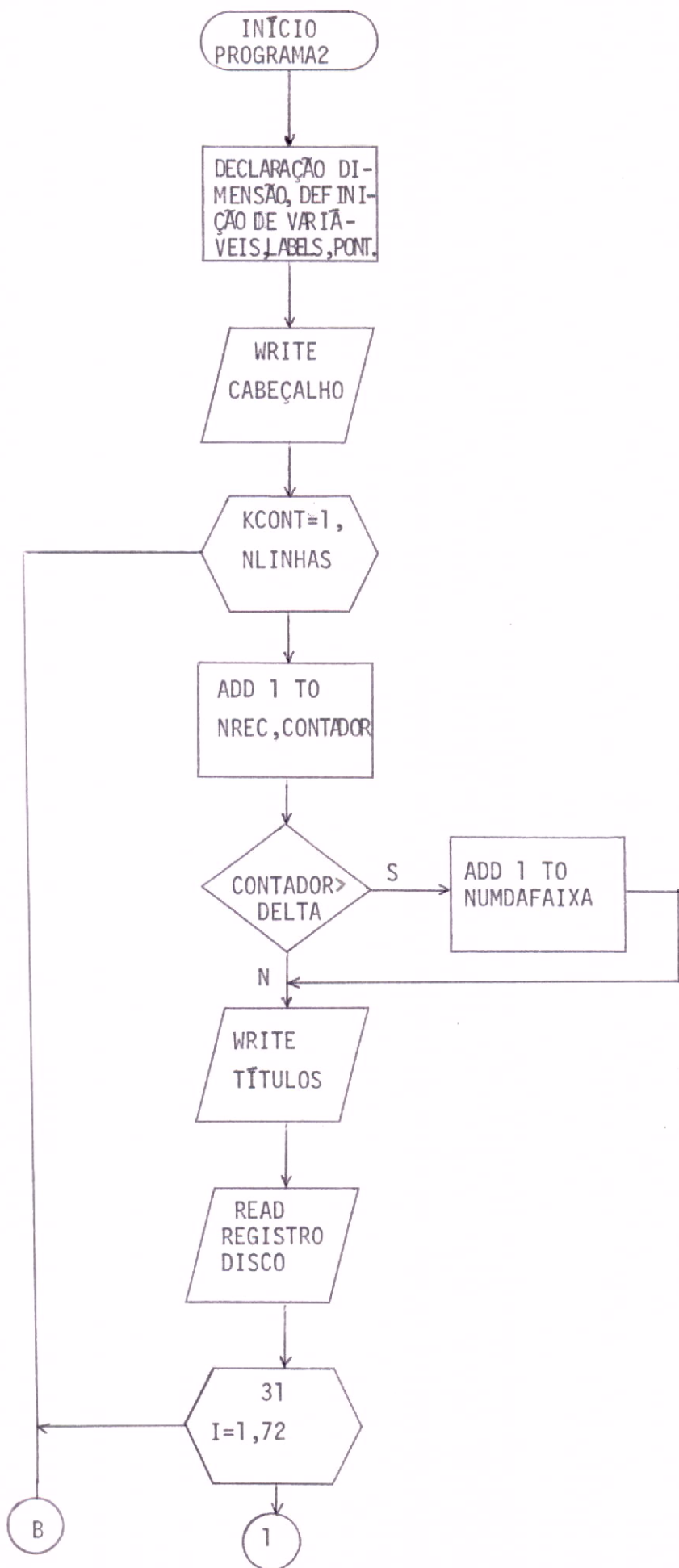


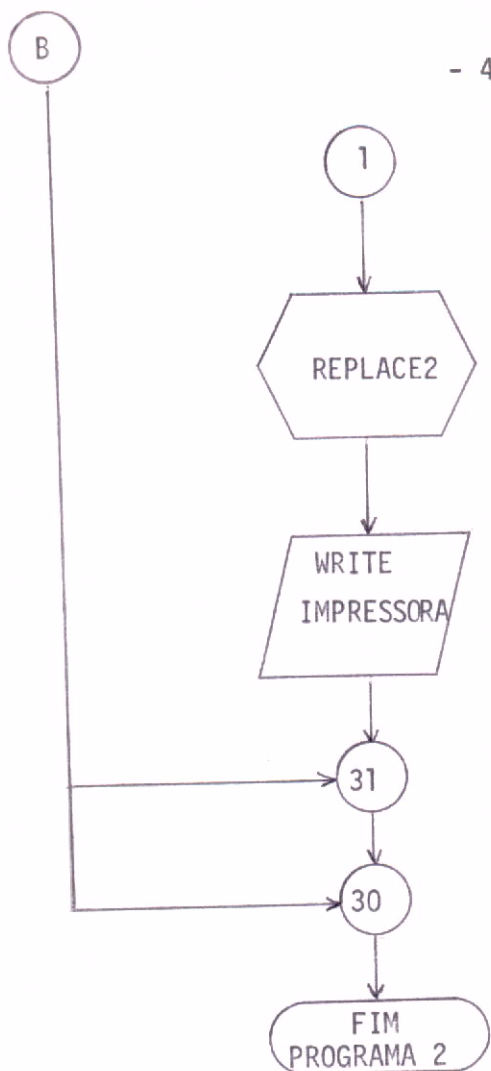


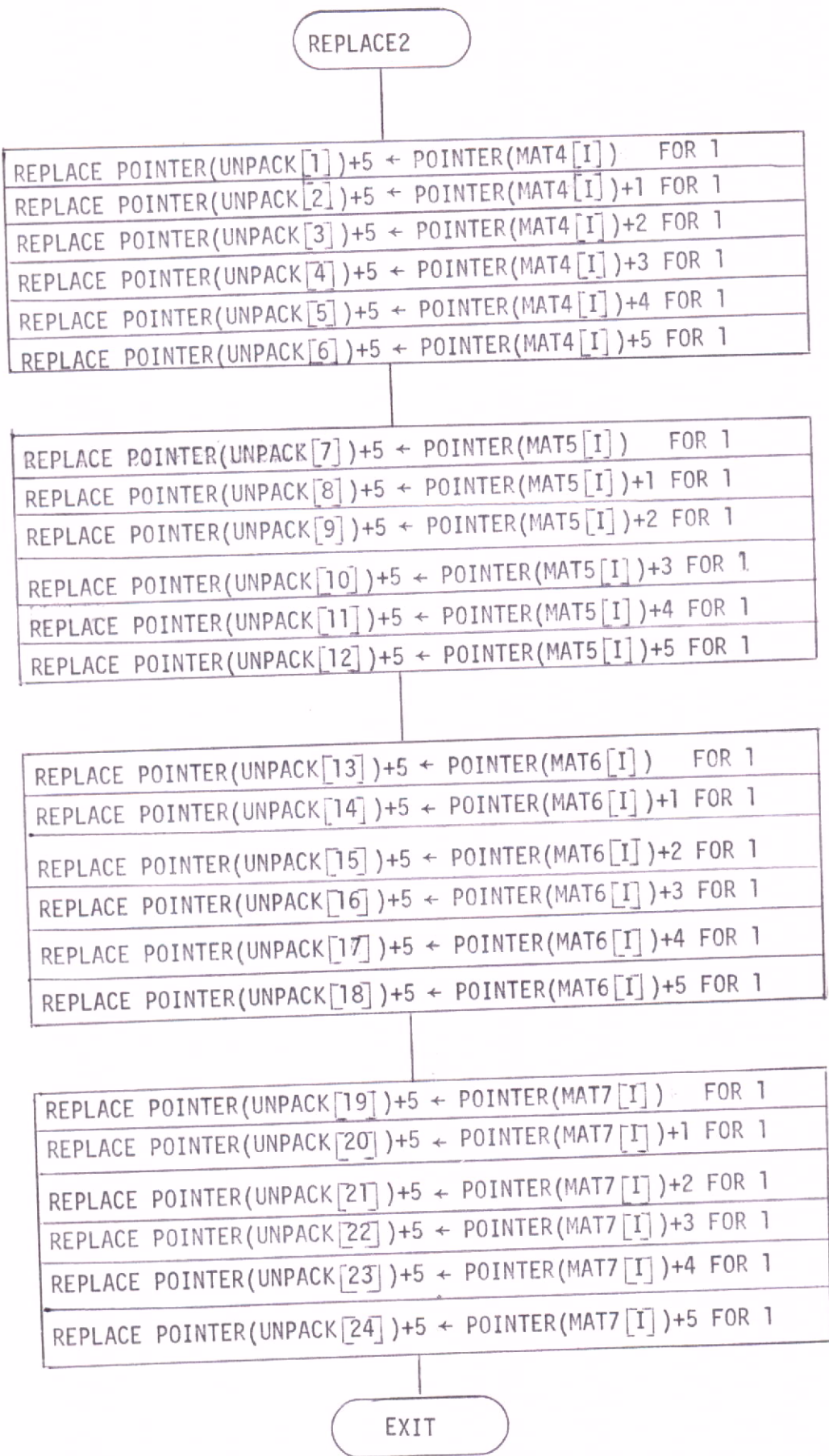








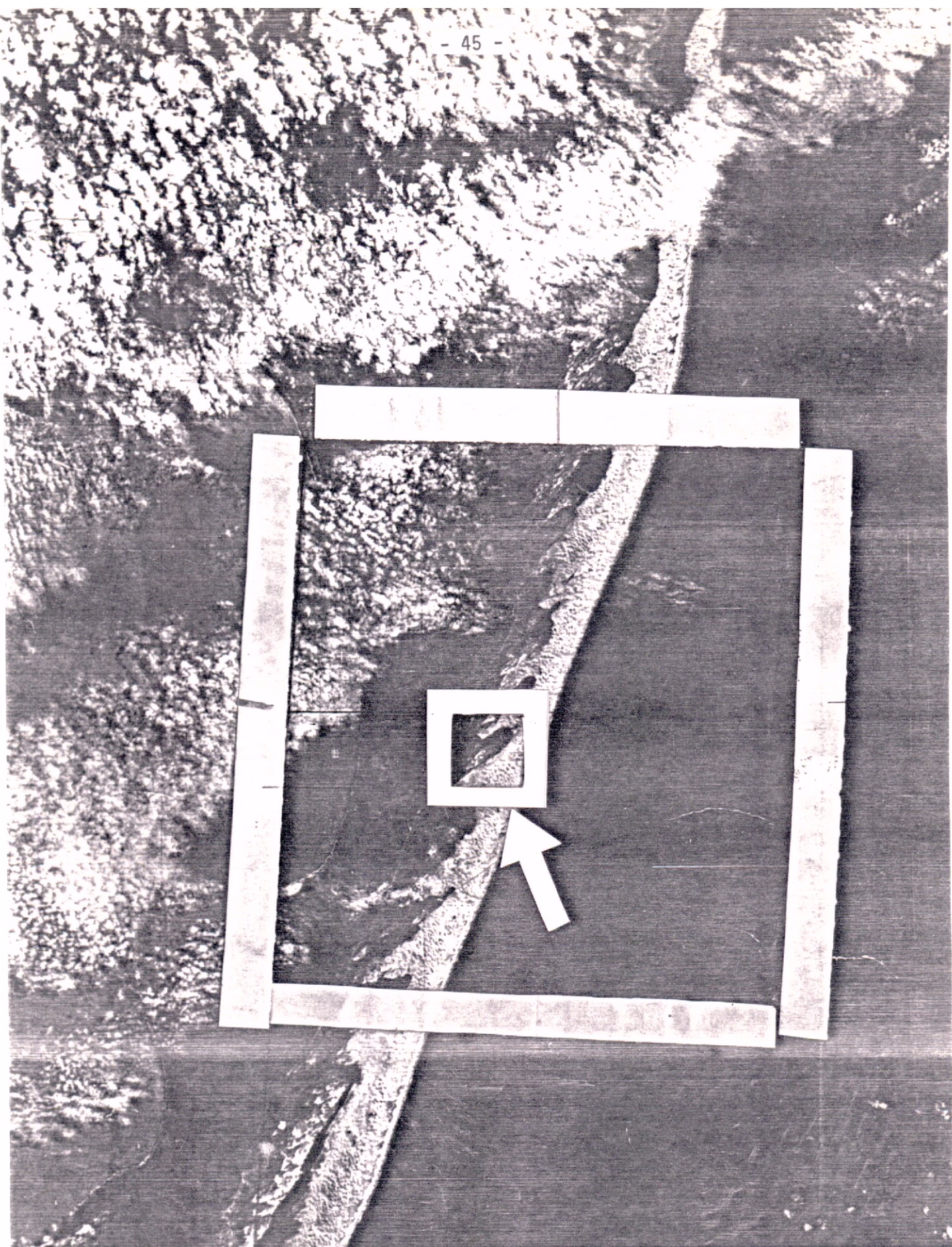




3.5 - UM EXEMPLO DE TRATAMENTO DE IMAGENS ERTS PARA GERAÇÃO DE "PRINT-OUT"

Após a estruturação do arquivo das imagens em um periférico de acesso direto várias aplicações podem ser sugeridas, desde a elaboração de "print-out" até a confecção e aplicação de algoritmos próprios para interpretação automática.

O exemplo a seguir evidencia a tradução dos valores dos pontos da matriz imagem em níveis de cinza representados pela superposição de caracteres de impressão de linha. A área escolhida para exemplo é a da Lagoa dos Patos, no Rio Grande do Sul. Na imagem (Fig. III.6) o quadro maior representa 2 oitavos contíguos e o quadro menor, do qual se obteve o "print-out" (Fig. III.7), representa a quarta parte do primeiro oitavo e totaliza 101 colunas numeradas de 304 a 404 e 90 linhas numeradas de 1659 a 1748. Para esse exemplo os níveis de cinza foram agrupados em 10 classes cada qual representada por uma superposição diferente de caracteres. A figura III.8 mostra o "print-out" da mesma área no canal 4 (banda 7).



C S031-001 W050-301
S30-16/W050-09 N S30-17/W050-04 MSS (5) R SUN EL54 AZ073

Fig. III.6 - Parte da imagem ERTS nº 1103-12415-5 (Lagoa dos Patos) - 1:1.000.000.

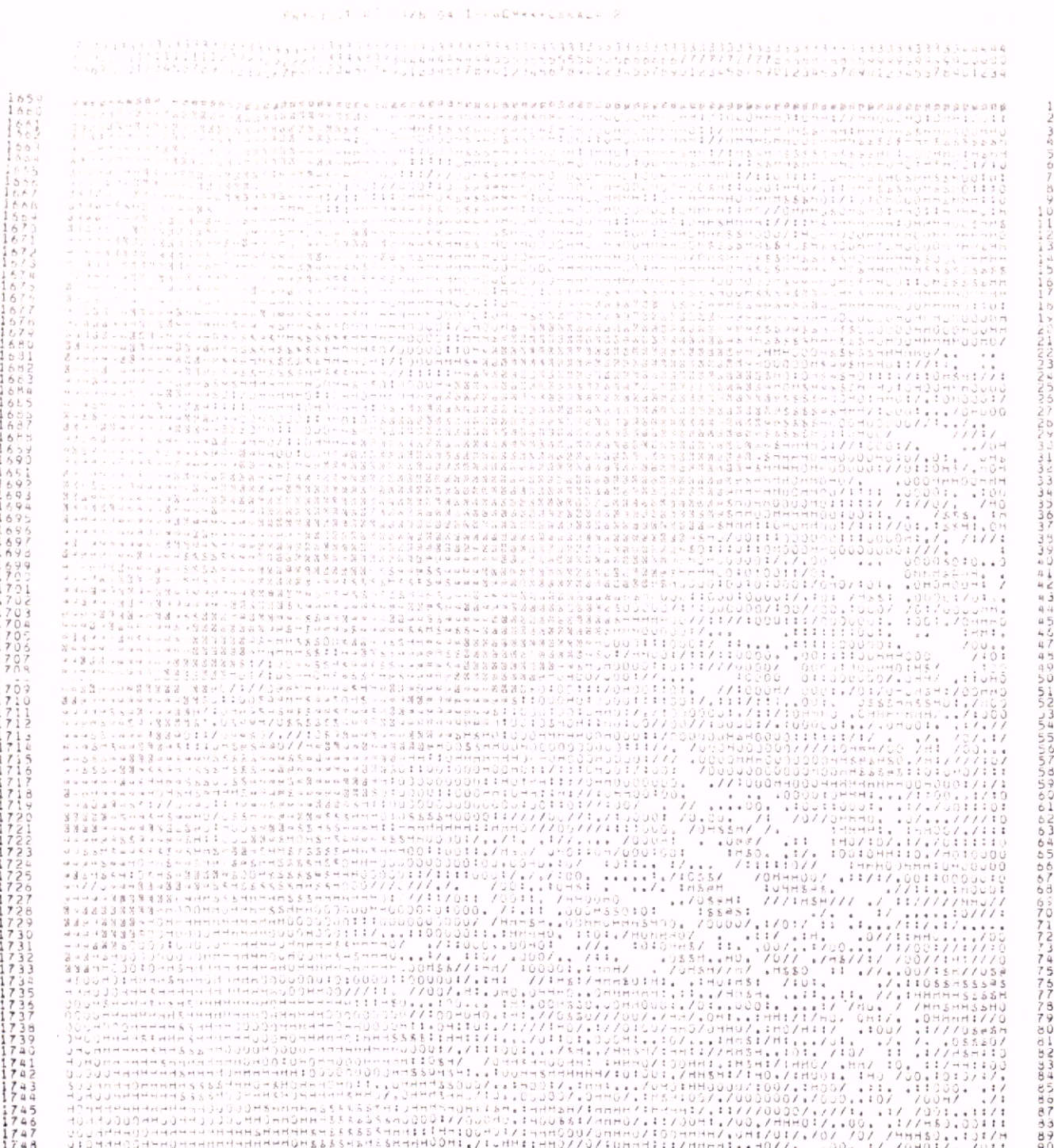


Fig.III.7 - "Print-out" da área em estudo no canal 2 (banda 5) em 10 níveis de cinza.

Fig. III.7 - "Print-out" da área em estudo no canal 2 (banda 5) em 10 níveis de cinza.

Fig. III.8 - "Print-out" da área em estudo no canal 4 (banda 7) em 10 níveis de cinza.

APÊNDICE A

LISTAGEM DO PROGRAMA

A seguir é apresentada a listagem completa dos dois programas.

BURROUGHS 86700 ALGOL COMPILEX, VERSION 2.6.000, TUESDAY, 01/27/76, 07:42 AM

BURGULS 86700 ARQUIV COMPILEA, VERSION 2.6.000, TUESDAY, 01/27/70, 07:42 AM*

C C T G E T D I S K
= = = = = = = = = =

DISK

3. * * * * * PRESENTACAO DO JU * * * * *
3. * * * * * 4.
5. * * * * *
6. * * * * *
7. * * * * *
8. * * * * *
9. * * * * *
10. * * * * *
11. * * * * *
12. * * * * *
13. * * * * *
14. * * * * *
15. * * * * *
16. * * * * *
17. * * * * *
18. * * * * *
19. * * * * *
20. * * * * *
21. * * * * *
22. * * * * *
23. * * * * *
24. * * * * *
25. * * * * *
26. * * * * *
27. * * * * *
28. * * * * *
29. * * * * *
30. * * * * *
31. * * * * *
32. * * * * *
33. * * * * *
34. * * * * *
35. * * * * *
36. * * * * *
37. * * * * *
38. * * * * *
39. * * * * *
40. * * * * *
41. * * * * *
42. * * * * *
43. * * * * *
44. * * * * *
45. * * * * *
46. * * * * *
47. * * * * *
48. * * * * *
49. * * * * *
50. * * * * *
51. * * * * *
52. * * * * *
53. * * * * *
54. * * * * *
55. * * * * *
56. * * * * *
57. * * * * *
58. * * * * *
59. * * * * *
60. * * * * *
61. * * * * *
62. * * * * *
63. * * * * *
64. * * * * *
65. * * * * *
66. * * * * *
67. * * * * *
68. * * * * *
69. * * * * *
70. * * * * *
71. * * * * *
72. * * * * *
73. * * * * *
74. * * * * *
75. * * * * *
76. * * * * *
77. * * * * *
78. * * * * *
79. * * * * *
80. * * * * *
81. * * * * *
82. * * * * *
83. * * * * *
84. * * * * *
85. * * * * *
86. * * * * *
87. * * * * *
88. * * * * *
89. * * * * *
90. * * * * *
91. * * * * *
92. * * * * *
93. * * * * *
94. * * * * *
95. * * * * *
96. * * * * *
97. * * * * *
98. * * * * *
99. * * * * *

- A.3 -

- A.3 -

```

FILE DISCUTINDO=DISK,MAXRECSEZ=200,ARREAS=10,ARREAS=30);
FILE FITACKIND=TAPÉ,MAXRECSEZ=200,ULOCKSIZE=29d;
FILE IMPRESSORIND=PRINTER,MAXRECSEZ=22d;

6 **** DECLARAÇAO DE VARIAVEIS
6
6
6   VARIAVEIS DE TRABALHO
6
6     INTEGER I, K1, J, K1
6           CONTAVLIA, NKM, CONTARHG;
6
6     VARIAVEIS DA DIMENSÃO DOS ARRAYS
6
6       INTEGER DIMES, DIMESAS;
6           DEFINE A ÚLTIMA LINHA NAO DESENHADA
6
6       INTEGER INREC;
6
6     VARIÁVEL QUE DEFINE O PRIMEIRO DÍGITO DESSENHADO
6
6     INTEGER PFAIXA;
6
6     VARIAVEIS CNTADURAS
6
6       INTEGER COVAFALA, CONFI;
6
6
6 **** DECLARAÇÃO DOS LABELS
6
6   LAUEL L1E L2E L3E L4E L5E L6E VOLTEI;
6
6
6 **** INICIALIZAÇÃO DAS VARIÁVEIS
6
6   DIMENS1=72; DIMENS2=286; PFAIXA=1; CNTAFILA1=0; UELT=50;
6   INREC=1200; CONTAVLIA=1;
6
6
6   BEGIN
6
6
6   DIMENS1UVAIMENTO DOS ARRAYS.
6
6
6   AHRAY ALCUDIMENS1, ALCUDIMENS2, MATS1(LIJMENS), MATS1(LIJMENS),
6   MATC1(LIJMENS), ANUT(I:7), IDENT(1:5), SWRDCTOT0;
6
6   LAUEL VOLTEI;
6
6
6 **** DECLARAÇÃO DOS PONTIROS DE PERCORRIMENTO
6
6   PONTEN P, PPT1, PPT2;
6
6
6 **** DEFINICAO DAS VARIÁVEIS QUE REPRESENTAM OS PARÂMETROS
6   ENCONTRADOS NO REGISTRO DE IDENTIFICACAO.
6
6
6 DEFINE
6
6   PWD01 = ANUT(1).{354}#,
6   PWD02 = ANUT(1).{454}#,
6   PWD03 = ANUT(1).{194}#,
6   PWD04 = ANUT(1).{274}#,
6   PWD05 = ANUT(1).{034}#,
6   PWD06 = ANUT(1).{114}#,
6   SWRD01=ANUT(2).{354}#,
6   SWRD02=ANUT(2).{454}#,
6   SWRD03=ANUT(2).{194}#,
6   SWRD04=ANUT(2).{194}#,
6   PWT01=ANUT(3).{454}#,
6   PWT02=ANUT(3).{274}#,
6   PWT03=ANUT(3).{114}#,
6   PWT04=ANUT(3).{194}#,
6   PWT05=ANUT(3).{354}#,
6   PWT06=ANUT(3).{454}#

```


HURKULUGHS 86700 ALGOL COMPILER, VERSION 2.6.000, TUTSATS, 01/27/76, 07:46 AM

```

BEGIN
***** F S E G M E N T V O U C H E R *****

6   **** APRESENTACAO DE ESTUDOS PROJETUAIS ****
7
8
9
10
11
12
13
14
15
16
17
18
19
20
21
22
23
24
25
26
27
28
29
30
31
32
33
34
35
36
37
38
39
40
41
42
43
44
45
46
47
48
49
50
51
52
53
54
55
56
57
58
59
60
61
62
63
64
65
66
67
68
69
70
71
72
73
74
75
76
77
78
79
80
81
82
83
84
85
86
87
88
89
90
91
92
93
94
95
96
97
98
99
100
101
102
103
104
105
106
107
108
109
110
111
112
113
114
115
116
117
118
119
120
121
122
123
124
125
126
127
128
129
130
131
132
133
134
135
136
137
138
139
140
141
142
143
144
145
146
147
148
149
150
151
152
153
154
155
156
157
158
159
160
161
162
163
164
165
166
167
168
169
170
171
172
173
174
175
176
177
178
179
180
181
182
183
184
185
186
187
188
189
190
191
192
193
194
195
196
197
198
199
200
201
202
203
204
205
206
207
208
209
210
211
212
213
214
215
216
217
218
219
220
221
222
223
224
225
226
227
228
229
230
231
232
233
234
235
236
237
238
239
240
241
242
243
244
245
246
247
248
249
250
251
252
253
254
255
256
257
258
259
260
261
262
263
264
265
266
267
268
269
270
271
272
273
274
275
276
277
278
279
280
281
282
283
284
285
286
287
288
289
290
291
292
293
294
295
296
297
298
299
300
301
302
303
304
305
306
307
308
309
310
311
312
313
314
315
316
317
318
319
320
321
322
323
324
325
326
327
328
329
330
331
332
333
334
335
336
337
338
339
339
340
341
342
343
344
345
346
347
348
349
349
350
351
352
353
354
355
356
357
358
359
359
360
361
362
363
364
365
366
367
368
369
369
370
371
372
373
374
375
376
377
378
379
379
380
381
382
383
384
385
386
387
388
389
389
390
391
392
393
394
395
396
397
398
399
399
400
401
402
403
404
405
406
407
408
409
409
410
411
412
413
414
415
416
417
418
419
419
420
421
422
423
424
425
426
427
428
429
429
430
431
432
433
434
435
436
437
438
439
439
440
441
442
443
444
445
446
447
448
449
449
450
451
452
453
454
455
456
457
458
459
459
460
461
462
463
464
465
466
467
468
469
469
470
471
472
473
474
475
476
477
478
479
479
480
481
482
483
484
485
486
487
488
489
489
490
491
492
493
494
495
496
497
498
499
499
500
501
502
503
504
505
506
507
508
509
509
510
511
512
513
514
515
516
517
518
519
519
520
521
522
523
524
525
526
527
528
529
529
530
531
532
533
534
535
536
537
538
539
539
540
541
542
543
544
545
546
547
548
549
549
550
551
552
553
554
555
556
557
558
559
559
560
561
562
563
564
565
566
567
568
569
569
570
571
572
573
574
575
576
577
578
579
579
580
581
582
583
584
585
586
587
588
589
589
590
591
592
593
594
595
596
597
598
599
599
600
601
602
603
604
605
606
607
608
609
609
610
611
612
613
614
615
616
617
618
619
619
620
621
622
623
624
625
626
627
628
629
629
630
631
632
633
634
635
636
637
638
639
639
640
641
642
643
644
645
646
647
648
649
649
650
651
652
653
654
655
656
657
658
659
659
660
661
662
663
664
665
666
667
668
669
669
670
671
672
673
674
675
676
677
678
679
679
680
681
682
683
684
685
686
687
688
689
689
690
691
692
693
694
695
696
697
698
699
699
700
701
702
703
704
705
706
707
708
709
709
710
711
712
713
714
715
716
717
718
719
719
720
721
722
723
724
725
726
727
728
729
729
730
731
732
733
734
735
736
737
738
739
739
740
741
742
743
744
745
746
747
748
749
749
750
751
752
753
754
755
756
757
758
759
759
760
761
762
763
764
765
766
767
768
769
769
770
771
772
773
774
775
776
777
778
779
779
780
781
782
783
784
785
786
787
788
789
789
790
791
792
793
794
795
796
797
798
799
799
800
801
802
803
804
805
806
807
808
809
809
810
811
812
813
814
815
816
817
818
819
819
820
821
822
823
824
825
826
827
828
829
829
830
831
832
833
834
835
836
837
838
839
839
840
841
842
843
844
845
846
847
848
849
849
850
851
852
853
854
855
856
857
858
859
859
860
861
862
863
864
865
866
867
868
869
869
870
871
872
873
874
875
876
877
878
879
879
880
881
882
883
884
885
886
887
888
889
889
890
891
892
893
894
895
896
897
898
899
899
900
901
902
903
904
905
906
907
908
909
909
910
911
912
913
914
915
916
917
918
919
919
920
921
922
923
924
925
926
927
928
929
929
930
931
932
933
934
935
936
937
938
939
939
940
941
942
943
944
945
946
947
948
949
949
950
951
952
953
954
955
956
957
958
959
959
960
961
962
963
964
965
966
967
968
969
969
970
971
972
973
974
975
976
977
978
979
979
980
981
982
983
984
985
986
987
988
989
989
990
991
992
993
994
995
996
997
998
999
999
1000
1001
1002
1003
1004
1005
1006
1007
1008
1009
1009
1010
1011
1012
1013
1014
1015
1016
1017
1018
1019
1019
1020
1021
1022
1023
1024
1025
1026
1027
1028
1029
1029
1030
1031
1032
1033
1034
1035
1036
1037
1038
1039
1039
1040
1041
1042
1043
1044
1045
1046
1047
1048
1049
1049
1050
1051
1052
1053
1054
1055
1056
1057
1058
1059
1059
1060
1061
1062
1063
1064
1065
1066
1067
1068
1069
1069
1070
1071
1072
1073
1074
1075
1076
1077
1078
1079
1079
1080
1081
1082
1083
1084
1085
1086
1087
1088
1089
1089
1090
1091
1092
1093
1094
1095
1096
1097
1098
1099
1099
1100
1101
1102
1103
1104
1105
1106
1107
1108
1109
1109
1110
1111
1112
1113
1114
1115
1116
1117
1118
1119
1119
1120
1121
1122
1123
1124
1125
1126
1127
1128
1129
1129
1130
1131
1132
1133
1134
1135
1136
1137
1138
1139
1139
1140
1141
1142
1143
1144
1145
1146
1147
1148
1149
1149
1150
1151
1152
1153
1154
1155
1156
1157
1158
1159
1159
1160
1161
1162
1163
1164
1165
1166
1167
1168
1169
1169
1170
1171
1172
1173
1174
1175
1176
1177
1178
1179
1179
1180
1181
1182
1183
1184
1185
1186
1187
1188
1189
1189
1190
1191
1192
1193
1194
1195
1196
1197
1198
1198
1199
1200
1201
1202
1203
1204
1205
1206
1207
1208
1209
1209
1210
1211
1212
1213
1214
1215
1216
1217
1218
1219
1219
1220
1221
1222
1223
1224
1225
1226
1227
1228
1229
1229
1230
1231
1232
1233
1234
1235
1236
1237
1238
1239
1239
1240
1241
1242
1243
1244
1245
1246
1247
1248
1249
1249
1250
1251
1252
1253
1254
1255
1256
1257
1258
1259
1259
1260
1261
1262
1263
1264
1265
1266
1267
1268
1269
1269
1270
1271
1272
1273
1274
1275
1276
1277
1278
1279
1279
1280
1281
1282
1283
1284
1285
1286
1287
1288
1289
1289
1290
1291
1292
1293
1294
1295
1296
1297
1298
1298
1299
1300
1301
1302
1303
1304
1305
1306
1307
1308
1309
1309
1310
1311
1312
1313
1314
1315
1316
1317
1318
1319
1319
1320
1321
1322
1323
1324
1325
1326
1327
1328
1329
1329
1330
1331
1332
1333
1334
1335
1336
1337
1338
1339
1339
1340
1341
1342
1343
1344
1345
1346
1347
1348
1349
1349
1350
1351
1352
1353
1354
1355
1356
1357
1358
1359
1359
1360
1361
1362
1363
1364
1365
1366
1367
1368
1369
1369
1370
1371
1372
1373
1374
1375
1376
1377
1378
1379
1379
1380
1381
1382
1383
1384
1385
1386
1387
1388
1389
1389
1390
1391
1392
1393
1394
1395
1396
1397
1398
1398
1399
1400
1401
1402
1403
1404
1405
1406
1407
1408
1409
1409
1410
1411
1412
1413
1414
1415
1416
1417
1418
1419
1419
1420
1421
1422
1423
1424
1425
1426
1427
1428
1429
1429
1430
1431
1432
1433
1434
1435
1436
1437
1438
1439
1439
1440
1441
1442
1443
1444
1445
1446
1447
1448
1449
1449
1450
1451
1452
1453
1454
1455
1456
1457
1458
1459
1459
1460
1461
1462
1463
1464
1465
1466
1467
1468
1469
1469
1470
1471
1472
1473
1474
1475
1476
1477
1478
1479
1479
1480
1481
1482
1483
1484
1485
1486
1487
1488
1489
1489
1490
1491
1492
1493
1494
1495
1496
1497
1498
1498
1499
1500
1501
1502
1503
1504
1505
1506
1507
1508
1509
1509
1510
1511
1512
1513
1514
1515
1516
1517
1518
1519
1519
1520
1521
1522
1523
1524
1525
1526
1527
1528
1529
1529
1530
1531
1532
1533
1534
1535
1536
1537
1538
1539
1539
1540
1541
1542
1543
1544
1545
1546
1547
1548
1549
1549
1550
1551
1552
1553
1554
1555
1556
1557
1558
1559
1559
1560
1561
1562
1563
1564
1565
1566
1567
1568
1569
1569
1570
1571
1572
1573
1574
1575
1576
1577
1578
1579
1579
1580
1581
1582
1583
1584
1585
1586
1587
1588
1589
1589
1590
1591
1592
1593
1594
1595
1596
1597
1598
1598
1599
1600
1601
1602
1603
1604
1605
1606
1607
1608
1609
1609
1610
1611
1612
1613
1614
1615
1616
1617
1618
1619
1619
1620
1621
1622
1623
1624
1625
1626
1627
1628
1629
1629
1630
1631
1632
1633
1634
1635
1636
1637
1638
1639
1639
1640
1641
1642
1643
1644
1645
1646
1647
1648
1649
1649
1650
1651
1652
1653
1654
1655
1656
1657
1658
1659
1659
1660
1661
1662
1663
1664
1665
1666
1667
1668
1669
1669
1670
1671
1672
1673
1674
1675
1676
1677
1678
1679
1679
1680
1681
1682
1683
1684
1685
1686
1687
1688
1689
1689
1690
1691
1692
1693
1694
1695
1696
1697
1698
1698
1699
1700
1701
1702
1703
1704
1705
1706
1707
1708
1709
1709
1710
1711
1712
1713
1714
1715
1716
1717
1718
1719
1719
1720
1721
1722
1723
1724
1725
1726
1727
1728
1729
1729
1730
1731
1732
1733
1734
1735
1736
1737
1738
1739
1739
1740
1741
1742
1743
1744
1745
1746
1747
1748
1749
1749
1750
1751
1752
1753
1754
1755
1756
1757
1758
1759
1759
1760
1761
1762
1763
1764
1765
1766
1767
1768
1769
1769
1770
1771
1772
1773
1774
1775
1776
1777
1778
1779
1779
1780
1781
1782
1783
1784
1785
1786
1787
1788
1789
1789
1790
1791
1792
1793
1794
1795
1796
1797
1798
1798
1799
1800
1801
1802
1803
1804
1805
1806
1807
1808
1809
1809
1810
1811
1812
1813
1814
1815
1816
1817
1818
1819
1819
1820
1821
1822
1823
1824
1825
1826
1827
1828
1829
1829
1830
1831
1832
1833
1834
1835
1836
1837
1838
1839
1839
1840
1841
1842
1843
1844
1845
1846
1847
1848
1849
1849
1850
1851
1852
1853
1854
1855
1856
1857
1858
1859
1859
1860
1861
1862
1863
1864
1865
1866
1867
1868
1869
1869
1870
1871
1872
1873
1874
1875
1876
1877
1878
1879
1879
1880
1881
1882
1883
1884
1885
1886
1887
1888
1889
1889
1890
1891
1892
1893
1894
1895
1896
1897
1898
1898
1899
1900
1901
1902
1903
1904
1905
1906
1907
1908
1909
1909
1910
1911
1912
1913
1914
1915
1916
1917
1918
1919
1919
1920
1921
1922
1923
1924
1925
1926
1927
1928
1929
1929
1930
1931
1932
1933
1934
1935
1936
1937
1938
1939
1939
1940
1941
1942
1943
1944
1945
1946
1947
1948
1949
1949
1950
1951
1952
1953
1954
1955
1956
1957
1958
1959
1959
1960
1961
1962
1963
1964
1965
1966
1967
1968
1969
1969
1970
1971
1972
1973
1974
1975
1976
1977
1978
1979
1979
1980
1981
1982
1983
1984
1985
1986
1987
1988
1989
1989
1990
1991
1992
1993
1994
1995
1996
1997
1998
1998
1999
2000
2001
2002
2003
2004
2005
2006
2007
2008
2009
2009
2010
2011
2012
2013
2014
2015
2016
2017
2018
2019
2019
2020
2021
2022
2023
2024
2025
2026
2027
2028
2029
2029
2030
2031
2032
2033
2034
2035
2036
2037
2038
2039
2039
2040
2041
2042
2043
2044
2045
2046
2047
2048
2049
2049
2050
2051
2052
2053
2054
2055
2056
2057
2058
2059
2059
2060
2061
2062
2063
2064
2065
2066
2067
2068
2069
2069
2070
2071
2072
2073
2074
2075
2076
2077
2078
2079
2079
2080
2081
2082
2083
2084
2085
2086
2087
2088
2089
2089
2090
2091
2092
2093
2094
2095
2096
2097
2098
2098
2099
2100
2101
2102
2103
2104
2105
2106
2107
2108
2109
2109
2110
2111
2112
2113
2114
2115
2116
2117
2118
2119
2119
2120
2121
2122
2123
2124
2125
2126
2127
2128
2129
2129
2130
2131
2132
2133
2134
2135
2136
2137
2138
2139
2139
2140
2141
2142
2143
2144
2145
2146
2147
2148
2149
2149
2150
2151
2152
2153
2154
2155
2156
2157
2158
2159
2159
2160
2161
2162
2163
2164
2165
2166
2167
2168
2169
2169
2170
2171
2172
2173
2174
2175
2176
2177
2178
2179
2179
2180
2181
2182
2183
2184
2185
2186
2187
2188
2189
2189
2190
2191
2192
2193
2194
2195
2196
2197
2198
2198
2199
2200
2201
2202
2203
2204
2205
2206
2207
2208
2209
2209
2210
2211
2212
2213
2214
2215
2216
2217
2218
2219
2219
2220
2221
2222
2223
2224
2225
2226
2227
2228
2229
2229
2230
2231
2232
2233
2234
2235
2236
2237
2238
2239
2239
2240
2241
2242
2243
2244
2245
2246
2247
2248
2249
2249
2250
2251
2252
2253
2254
2255
2256
2257
2258
2259
2259
2260
2261
2262
2263
2264
2265
2266
2267
2268
2269
2269
2270
2271
2272
2273
2274
2275
2276
2277
2278
2279
2279
2280
2281
2282
2283
2284
2285
2286
2287
2288
2289
2289
2290
2291
2292
2293
2294
2295
2296
2297
2298
2298
2299
2300
2301
2302
2303
2304
2305
2306
2307
2308
2309
2309
2310
2311
2312
2313
2314
2315
2316
2317
2318
2319
2319
2320
2321
2322
2323
2324
2325
2326
2327
2328
2329
2329
2330
2331
2332
2333
2334
2335
2336
2337
2338
2339
2339
2340
2341
2342
2343
2344
2345
2346
2347
2348
2349
2349
2350
2351
2352
2353
2354
2355
2356
2357
2358
2359
2359
2360
2361
2362
2363
2364
2365
2366
2367
2368
2369
2369
2370
2371
2372
2373
2374
2375
2376
2377
2378
2379
2379
2380
2381
2382
2383
2384
2385
2386
2387
2388
2389
2389
2390
2391
2392
2393
2394
2395
2396
2397
2398
2398
2399
2400
2401
2402
2403
2404
2405
2406
2407
2408
2409
2409
2410
2411
2412
2413
2414
2415
2416
2417
2418
2419
2419
2420
2421
2422
2423
2424
2425
2426
2427
2428
2429
2429
2430
2431
2432
2433
2434
2435
2436
2437
2438
2439
2439
2440
2441
2442
2443
2444
2445
2446
2447
2448
2449
2449
2450
2451
2452
2453
2454
2455
2456
2457
2458
2459
2459
2460
2461
2462
2463
2464
2465
2466
2467
2468
2469
2469
2470
2471
2472
2473
2474
2475
2476
2477
2478
2479
2479
2480
2481
2482
2483
2484
2485
248
```


PARTÉ UU PHÙG'ANA QUE DESCUMPAUTA UU 24 VALUHES (6 DE CAJA CANAL) PARA IMPRESO SAJ PARA CAJA LINHA ESSE DESCUMPAULACAU SERÁ FLITA 72 ELES

0034603424
0034603424
0034603424
0034603424

- A. 7 -

STACK ESTIMATE = 00024

PROLOGUE SIZE = 00000000000000000000000000000000 BYTES
PROGRAM SIZE = 00000000000000000000000000000000 BYTES
SYNTACTIC LINES, WHICH CONSIST OF SEVERAL
SEGMENTS.

APÊNDICE B

LISTAGEM DOS PONTOS DE 3 LINHAS DA IMAGEM ERTS NAS
QUATRO BANDAS ESPECTRAIS.

LÍNEA N.º 2

EXEMPLI DE BUSCA DE VALORES DA IMAGEM NO ARQUIVO MULTÍGUA E DISCO

N.	C.454	C.455	C.456	C.457	C.458	C.459	C.460	C.461	C.462	C.463	C.464	C.465	C.466	C.467	C.468	C.469	C.470	C.471	C.472
1-	5	22	55	26	25	26	54	64	64	60	59	54	64	64	64	64	64	64	64
7-	12	52	53	52	52	56	56	60	60	60	60	60	60	60	60	60	60	60	60
13-	19	52	52	56	56	56	56	56	56	56	56	56	56	56	56	56	56	56	56
19-	24	52	53	52	56	56	56	56	56	56	56	56	56	56	56	56	56	56	56
25-	34	50	52	52	52	52	52	52	52	52	52	52	52	52	52	52	52	52	52
31-	35	50	50	56	56	56	56	56	56	56	56	56	56	56	56	56	56	56	56
37-	42	56	56	56	56	56	56	56	56	56	56	56	56	56	56	56	56	56	56
43-	48	60	60	60	60	60	60	60	60	60	60	60	60	60	60	60	60	60	60
48-	54	52	52	56	56	56	56	56	56	56	56	56	56	56	56	56	56	56	56
55-	60	50	52	52	52	52	52	52	52	52	52	52	52	52	52	52	52	52	52
61-	65	52	52	52	52	52	52	52	52	52	52	52	52	52	52	52	52	52	52
67-	72	56	52	52	52	52	52	52	52	52	52	52	52	52	52	52	52	52	52
73-	75	56	56	56	56	56	56	56	56	56	56	56	56	56	56	56	56	56	56
79-	84	56	56	56	56	56	56	56	56	56	56	56	56	56	56	56	56	56	56
85-	93	56	56	56	56	56	56	56	56	56	56	56	56	56	56	56	56	56	56
91-	93	60	60	56	56	60	60	60	60	60	60	60	60	60	60	60	60	60	60
97-	102	50	60	60	60	60	60	60	60	60	60	60	60	60	60	60	60	60	60
103-	108	60	50	50	50	50	50	50	50	50	50	50	50	50	50	50	50	50	50
109-	114	60	62	64	60	60	60	60	60	60	60	60	60	60	60	60	60	60	60
115-	120	56	56	56	56	56	56	56	56	56	56	56	56	56	56	56	56	56	56
121-	126	56	56	56	56	56	56	56	56	56	56	56	56	56	56	56	56	56	56
127-	132	56	52	52	52	52	52	52	52	52	52	52	52	52	52	52	52	52	52
133-	135	56	50	50	50	50	50	50	50	50	50	50	50	50	50	50	50	50	50
139-	144	60	50	50	50	50	50	50	50	50	50	50	50	50	50	50	50	50	50
145-	150	56	56	56	56	56	56	56	56	56	56	56	56	56	56	56	56	56	56
151-	152	52	52	52	52	52	52	52	52	52	52	52	52	52	52	52	52	52	52
157-	162	56	56	56	56	56	56	56	56	56	56	56	56	56	56	56	56	56	56
163-	165	60	70	70	70	70	70	70	70	70	70	70	70	70	70	70	70	70	70
169-	174	70	70	70	70	70	70	70	70	70	70	70	70	70	70	70	70	70	70
175-	180	52	52	52	52	52	52	52	52	52	52	52	52	52	52	52	52	52	52
181-	186	50	52	52	52	52	52	52	52	52	52	52	52	52	52	52	52	52	52
187-	192	60	50	50	50	50	50	50	50	50	50	50	50	50	50	50	50	50	50
193-	194	56	56	56	56	56	56	56	56	56	56	56	56	56	56	56	56	56	56
199-	204	52	52	52	52	52	52	52	52	52	52	52	52	52	52	52	52	52	52
205-	210	60	40	40	40	40	40	40	40	40	40	40	40	40	40	40	40	40	40
211-	215	52	52	52	52	52	52	52	52	52	52	52	52	52	52	52	52	52	52
217-	222	56	56	56	56	56	56	56	56	56	56	56	56	56	56	56	56	56	56
223-	225	55	55	55	55	55	55	55	55	55	55	55	55	55	55	55	55	55	55
229-	234	60	60	60	60	60	60	60	60	60	60	60	60	60	60	60	60	60	60
235-	240	56	56	56	56	56	56	56	56	56	56	56	56	56	56	56	56	56	56
241-	245	56	56	56	56	56	56	56	56	56	56	56	56	56	56	56	56	56	56
247-	252	56	52	52	52	52	52	52	52	52	52	52	52	52	52	52	52	52	52
253-	254	56	52	52	52	52	52	52	52	52	52	52	52	52	52	52	52	52	52
259-	264	56	52	52	52	52	52	52	52	52	52	52	52	52	52	52	52	52	52
265-	270	52	52	52	52	52	52	52	52	52	52	52	52	52	52	52	52	52	52
271-	276	52	52	52	52	52	52	52	52	52	52	52	52	52	52	52	52	52	52
277-	282	56	56	52	52	52	52	52	52	52	52	52	52	52	52	52	52	52	52
283-	288	56	56	56	56	56	56	56	56	56	56	56	56	56	56	56	56	56	56
289-	294	60	60	60	60	60	60	60	60	60	60	60	60	60	60	60	60	60	60
290-	293	56	56	56	56	56	56	56	56	56	56	56	56	56	56	56	56	56	56
301-	305	60	56	56	56	56	56	56	56	56	56	56	56	56	56	56	56	56	56

EXEMPLO DE BUSCA DE VALORES DA IMAGEM NO ARQUIVO MONTADO EM DISCO

***FAIXA N.º 2
LÍNIA N.º1001

N.	C648	C656	C665	C673
1-	52	54	64	24
7- 12	52	54	64	24
13- 13	52	54	64	24
19- 24	52	54	64	24
25- 33	52	54	64	24
31- 35	50	52	64	24
37- 42	50	52	64	24
43- 45	50	52	64	24
49- 54	52	54	64	24
55- 63	52	54	64	24
61- 66	52	54	64	24
67- 72	50	52	64	24
73- 75	50	52	64	24
79- 84	50	52	64	24
85- 90	50	52	64	24
91- 95	50	52	64	24
97-102	50	52	64	24
103-108	50	52	64	24
109-114	50	52	64	24
115-120	50	52	64	24
121-126	50	52	64	24
127-132	50	52	64	24
133-138	50	52	64	24
139-144	50	52	64	24
145-150	50	52	64	24
151-156	52	54	64	24
157-162	50	52	64	24
163-168	60	62	64	24
169-174	50	52	64	24
175-180	52	54	64	24
181-186	50	52	64	24
187-192	60	62	64	24
193-198	50	52	64	24
199-204	52	54	64	24
205-210	60	62	64	24
211-216	52	54	64	24
217-222	50	52	64	24
253-254	50	52	64	24
259-264	50	52	64	24
265-270	60	62	64	24
271-276	52	54	64	24
277-282	50	52	64	24
283-288	50	52	64	24
289-294	60	62	64	24
295-300	50	52	64	24
301-305	60	56	64	24

2001-02*

*#FAIXA N. 2
*#LINHA N. 1502**

* * * * *

卷之二

Fig. III.8 - "Print-out" da área em estudo no canal 4 (banda 7) em 10 níveis de cinza.

AGRADECIMENTOS

Agradecimentos ao Dr. Fernando de Mendonça, Diretor do Instituto de Pesquisas Espaciais - INPE, que proporcionou a realização deste trabalho, aos colegas da Divisão de Processamento de Dados e as Secretárias Sra. Maria do Carmo S. Soares e Srta. Aparecida A. Cardoso.

BIBLIOGRAFIA

BURROUGHS CORPORATION - B-6700/B-7700. *System Software Handbook form 5000722*, Detroit, 1973.

BURROUGHS CORPORATION - B-6700/B-7700. *Extended Algol Language form 5000128*, Detroit, 1972.

CAVALCANTI, L.A. . *Correção Radiométrica dos Dados enviados pelo Sistema MSS do Satélite ERTS*. São José dos Campos, INPE, 1975 (786-NTI-039).

NOSSEIR, M.K., PALESTINO, C.V.B., BATISTA, G.T. - *Mapeamento da Vegetação Natural dos Estados de Minas Gerais e do Espírito Santo (Região Leste do Brasil), através de Imagens MSS do ERTS-1*. São José dos Campos, INPE, 1975 (INPE-617-LAFE).

SNOWDON, S.A.. *Inputs MSS Computer Compatible Tapes Format*. Bendix Aerospace System Division, Ann Arbor, Jan., 1974 (Internal Memorandum).